

NIMF 27 ANEXO 8

**ESP** 

## PD 8: Ditylenchus dipsaci y Ditylenchus destructor

Producido por la Secretaría de la Convención Internacional de Protección Fitosanitaria (CIPF)

Este anexo es una parte prescriptiva de la NIMF 27

#### **NIMF 27**

# Protocolos de diagnóstico para las plagas reglamentadas

### PD 8: Ditylenchus dipsaci y Ditylenchus destructor

#### Adoptado en 2015; publicado en 2017

#### Índice

1.	Informa	ción sobre la plaga	3
	1.1	Ditylenchus dipsaci	3
	1.2	Ditylenchus destructor	3
2.	Informa	ción taxonómica	4
3.	Detecci	ón	5
	3.1	Hospedantes y síntomas	5
	3.1.1	Ditylenchus dipsaci	5
	3.2	Extracción de los nematodos	9
	3.2.1	Extracción de los bulbos y del ajo	9
	3.2.2	Extracción de muestras de suelo y de materiales vegetales	9
4.	Identific	cación	11
	4.1	Identificación morfológica	11
	4.1.1	Preparación de los especímenes	11
	4.1.2	Caracteres morfológicos de diagnóstico	12
	4.2	Identificación molecular	15
	4.2.1	Ditylenchus dipsaci	15
	4.2.2	Ditylenchus destructor	16
	4.2.3	Extracción deADN	16
	4.2.4	Prueba PCR-RLFP de la región ITS del ADNr para D. dipsaci y D. destructor	16
	4.2.5	Prueba de PCR basada en SCAR para D. dipsaci	17
	4.2.6	Prueba de PCR específica para 18S e ITS1 para D. dipsaci	18
	4.2.7	Prueba de PCR específica para ADNr 5.8S para D. dipsaci	18
	4.2.8	Prueba de PCR específica para ADNr 5.8S e ITS para D. dipsaci	18
	4.2.9	Prueba de PCR basada en SCAR para D. dipsaci	19
	4.2.10	Controles para las pruebas moleculares	20
	4.2.11	Interpretación de los resultados de la PCR convencional	20
5.	Registro	os	20
6.	Puntos	de contacto para información adicional	20

7.	Agradecimientos	21
8.	Referencias	21
9.	Figuras	26

#### 1. Información sobre la plaga

Las especies que forman el género *Ditylenchus* Filipjev, 1936, están distribuidas por todo el mundo, y la mayoría de ellas son micófagas. Sin embargo, algunas especies de este género tienen gran importancia como plagas de plantas superiores (Sturhan y Brzeski, 1991). Aunque ciertas plantas (p. ej., la remolacha, la alfalfa o el trébol) pueden verse afectadas tanto por *Ditylenchus dipsaci* como por *Ditylenchus destructor*, ambas especies raramente están presentes en la misma planta (Andrássy y Farkas, 1988).

#### 1.1 Ditylenchus dipsaci

D. dipsaci sensu lato (s.l.), o nematodo del tallo, ataca a más de 1 200 especies de plantas silvestres y cultivadas. Este nematodo tiene como hospedantes muchas malezas y pastos, que podrán tener una función importante en su supervivencia en ausencia de plantas cultivadas. Los análisis morfológicos, bioquímicos, moleculares y cariológicos de distintas poblaciones y razas de D. dipsaci s.l. han sugerido que se trata de un complejo formado por al menos 30 razas, con rangos de hospedantes limitados. Jeszke et al. (2013) dividieron este complejo en dos grupos. El primero, llamado D. dipsaci sensu stricto (s.s.), está formado por poblaciones diploides caracterizadas por un tamaño "normal" y comprende la mayoría de las poblaciones registradas hasta la fecha. El segundo grupo es poliploide y actualmente comprende Ditylenchus gigas Vovlas et al., 2011 (la "raza gigante" de D. dipsaci que parasita a Vicia faba (haba)); D. weischeri Chizhov et al., 2010 (que parasita a Cirsium arvense (cardo cundidor)); y tres especies no descritas de Ditylenchus llamadas D, E y F, que están asociadas a especies vegetales de Fabaceae, Asteraceae y Plantaginaceae, respectivamente (Jeszke et al., 2013). De todas estas especies, solo D. dipsaci s.s. y su variante morfológicamente más grande D. gigas son plagas de las plantas de importancia económica. El presente protocolo contiene información para distinguir entre D. dipsaci s.s. y D. gigas.

D. dipsaci vive principalmente como endoparásito en las partes aéreas de las plantas (tallos, hojas y flores), pero también ataca bulbos, tubérculos y rizomas. Este nematodo es transportado por las semillas de V. faba, Medicago sativa (alfalfa), Allium cepa (cebolla), Trifolium spp. (tréboles), Dipsacus spp. (cardos) y Cucumis melo (melón) (Sousa et al., 2003; Sikora et al., 2005). Una característica muy importante es que en su cuarto estado juvenil puede resistir la desecación durante largo tiempo, en ocasiones 20 años o más (Barker y Lucas, 1984). Cuando el tejido vegetal comienza a secarse, estos nematodos se agrupan en un estado criptobiótico formando masas algodonosas o "lana de nematodos" (Figura 1), que se observan a menudo en las semillas de vainas muy infestadas y en los residuos vegetales secos (p. ej., los que permanecen en el campo después de la cosecha). La presencia de nematodos infectivos en el cuarto estado juvenil en semillas y material vegetal seco es importante para la diseminación pasiva del nematodo a grandes distancias. En estado desecado el nematodo puede sobrevivir al paso por el tracto intestinal del ganado porcino y bovino, en la superficie o en el interior de las semillas infectadas (Palmisano et al., 1971).

Aunque *D. dipsaci* se considera una plaga de las plantas superiores, Viglierchio (1971) comunicó que una población californiana de *D. dipsaci* de *Allium sativum* (ajo) podía reproducirse en hongos del suelo (*Verticilium y Cladosporium*) en condiciones de laboratorio.

Se sabe que *D. dipsaci* es un vector externo de bacterias fitopatógenas (p. ej., *Clavibacter michiganensis* subsp. *insidiosus* [sin. *Clavibacter michiganensis* subsp. *insidiosum*, *Corynebacterium insidiosum*], que causa el marchitamiento de la alfalfa).

Según EPPO (2013a), *D. dipsaci* está presente en las siguientes regiones (excluidas las intercepciones): Europa, Asia, África, América del Norte, América Central y el Caribe, América del Sur y Oceanía.

#### 1.2 Ditylenchus destructor

*D. destructor*, o nematodo de la pudrición de la papa (patata), ataca casi exclusivamente las partes subterráneas de las plantas (p. ej., tubérculos, rizomas y órganos subterráneos de tipo caulinar). Es una especie prácticamente cosmopolita, común en las regiones templadas y responsable de pérdidas severas

en la producción de papa y lúpulo (EPPO, 2013a). El nematodo tiene un rango de hospedantes amplio, que comprende más de 90 especies vegetales, entre las que hay plantas ornamentales, plantas cultivadas y malezas. *Solanum tuberosum* (papa/patata) es el principal hospedante; sus tubérculos desarrollan una podredumbre húmeda o seca que se dispersará a otros tubérculos durante el almacenamiento. En determinadas condiciones, los organismos causantes de la podredumbre húmeda podrán producir grandes daños en los tubérculos, pero también matarán los nematodos. *D. destructor* solo puede sobrevivir cuando el tubérculo es invadido por organismos que producen podredumbre seca. Rojankovski y Ciurea (1986) encontraron 55 especies de bacterias y hongos asociadas a *D. destructor* en tubérculos de *S. tuberosum*, siendo *Fusarium* spp. el más comun.

Otros hospedantes comunes son *Ipomoea batatas* (batata), los lirios bulbosos (híbridos y selecciones a partir de Iris xiphium e Iris xiphioides), Taraxacum officinale (diente de león), Humulus lupulus (lúpulo), Tulipa spp. (tulipán), Leopoldia comosa (jacinto silvestre o comoso), Hyacinthus orientalis (jacinto común), Gladiolus spp. (gladiolo), Dahlia spp. (dalia), Coronilla varia (coronilla) y Anthyllis vulneraria (vulneraria), Beta vulgaris (remolacha azucarera, remolacha forrajera y remolacha), Calendula officinalis (caléndula), Daucus carota (zanahoria), Petroselinum crispum (perejil) y Trifolium spp. (trébol rojo, blanco y alsike) (Sturhan y Brzeski, 1991). En ausencia de plantas superiores, D. destructor se reproduce con facilidad en el micelio de unas 70 especies de hongos y se ha comprobado que destruye las hifas de los champiñones cultivados (Sturhan y Brzeski, 1991). La especie es capaz de sobrevivir a la desecación y a las bajas temperaturas, pero no forma masas algodonosas como D. dipsaci (Kühn, 1857) Filipjev, 1936. En cambio, esta especie hiberna en forma de huevos, por lo que estos son más vitales para D. destructor que para D. dipsaci. D. destructor es una plaga reglamentada en papa semilla y bulbos de flores en muchos países (Sturhan y Brzeski, 1991). Se informeó de la presencia de D. destructor en Arachis hypogaea (maní, cacahuete) en Sudáfrica, pero actualmente se considera que estos registros corresponden a una especie diferente, Ditylenchus africanus Wendt, Swart, Vrain y Webster, 1995, de morfología y morfometría muy similares a D. destructor.

Según EPPO (2013a), *D. destructor* está presente en las siguientes regiones (excluidas las intercepciones): Europa, Asia, África Austral, América del Norte, América del Sur y Oceanía.

#### 2. Información taxonómica

Nombre: Ditylenchus dipsaci (Kühn, 1857) Filipjev, 1936

**Sinónimos:** los sinónimos de la especie tipo *Ditylenchus dipsaci* (Kühn, 1857) Filipjev, 1936 se enumeran en Siddiqi (2000)

**Posición taxonómica:** Nematoda, Secernentea, Diplogasteria, Tylenchida, Tylenchina, Tylenchoidea, Anguinidae

**Nombres comunes:** acebollado del centeno, anguilulosis de la avena, cebollino del centeno, nematodo de la cebolla (español) (base de datos de la EPPO: https://gd.eppo.int, consultada el 30/11/2015)

Nota: *D. dipsaci* se considera actualmente un complejo de especies formado por un gran número de razas biológicas y de poblaciones que difieren principalmente en la preferencia de hospedante. En consecuencia, un total de 13 especies nominales se han considerado sinónimas de *D. dipsaci* y se han diferenciado hasta 30 razas biológicas, que se distinguen principalmente por el rango de hospedantes y por lo general se nombran según su planta hospedante principal.

Nombre: Ditylenchus destructor Thorne, 1945

Sinónimos: ninguno

**Posición taxonómica:** Nematoda, Secernentea, Diplogasteria, Tylenchida, Tylenchina, Tylenchoidea, Anguinidae

**Nombres comunes:** anguilulosis de la patata, nematodo de la patata, nematodo de la pudrición de la papa (español) (base de datos de la EPPO: https://gd.eppo.int, consultada el 30/11/2015)

De Ley y Blaxter (2003) han creado el sistema de clasificación más reciente, que combina observaciones morfológicas, datos moleculares y el análisis cladístico.

#### 3. Detección

Tanto *D. dipsaci* como *D. destructor* producen los siguientes síntomas comunes que permiten su detección: engrosamiento, deformación, decoloración y retraso del crecimiento de las partes aéreas de la planta, y necrosis o pudrición de los bulbos y los tubérculos (Thorne, 1945).

#### Ditylenchus dipsaci

D. dipsaci muestra adaptación al parasitismo en su capacidad de invadir el tejido parenquimatoso compacto tras la lisis enzimática de la capa péctica o laminillas medias entre paredes celulares adyacentes, lo que hace que las células se separen y se redondeen. Esto ocasiona la típica apariencia brillante o textura harinosa de los tejidos infestados, que recuerda la carne de una manzana sobremadura (Southey, 1993).

Según Vovlas *et al.* (2011), la infestación de *V. faba* por *D. gigas* (nematodo gigante del tallo y el bulbo) produce engrosamiento y deformación del tejido del tallo o lesiones que se vuelven marrón rojizo y luego negras. En infestaciones severas, las semillas infestadas aparecen más oscuras, deformadas y de menor tamaño que las semillas no infestadas y presentan punteado necrótico en la superficie. Además de *V. faba*, son hospedantes *Lamium purpureum*, *Lamium album*, *Lamium amplexicaule*, *Ranunculus arvensis*, *Convolvulus arvensis* y *Avena sterilis*.

#### Ditylenchus destructor

D. destructor infecta comúnmente las partes subterráneas de las plantas (tubérculos y estolones de papa; rizomas de menta y raíces de lúpulo y lila), ocasionando decoloración y pudrición del tejido vegetal. A veces también resultan infectadas las partes aéreas, lo que provoca enanismo, engrosamiento y ramificación del tallo así como enanismo, abarquillado y decoloración de las hojas (p. ej., en la papa) (Sturhan y Brzeski, 1991). Sin embargo, lo más frecuente es no encontrar síntomas de infección en las partes aéreas de las plantas.

#### 3.1 Hospedantes y síntomas

#### 3.1.1 Ditylenchus dipsaci

Según Sturhan y Brzeski (1991) los hospedantes principales de *D. dipsaci* son Gramineae: *Avena sativa* (avena), *Secale cereale* (centeno), *Zea mays* (maíz), *Triticum aestivum* (trigo); Liliaceae: *A. cepa*, *A. sativum*, *Tulipa* spp.; Leguminosae: *M. sativa*, *Vicia* spp., *Pisum sativum*, *Trifolium* spp.; Solanaceae: *S. tuberosum*, *Nicotiana* spp.; Cruciferae: *Brassica campestris*, y Amaryllidaceae: *Narcissus* spp. Otros hospedantes son *D. carota*, *Fragaria* spp. (fresa/frutilla), *B. vulgaris*, *H. orientalis*, *Allium ampeloprasum* (puerro silvestre), *Phlox drummondii*, *Phlox paniculata*, *Dianthus* spp. (clavel), *Apium graveolens* (apio), *Hydrangea* spp., *Lens culinaris* (lenteja), *Brassica napus* (colza), *Petroselinum crispum* y *Helianthus annuus* (girasol).

En una planta hospedante podrán estar presentes varias generaciones sucesivas de *D. dipsaci* durante una temporada. Si las partes afectadas de la planta se necrosan debido a las lesiones ocasionadas por la plaga, los nematodos abandonan el hospedante antes de que muera completamente. Cuando no disponen de plantas hospedantes, los nematodos se pueden introducir en plantas no hospedantes y alimentarse de ellas durante cierto tiempo, aunque no pueden reproducirse en plantas no hospedantes (Andrássy y Farkas, 1988). Los síntomas más comunes de infestación por *D. dipsaci* son el raquitismo y clorosis de las plantas; el engrosamiento, raquitismo, deformación o presencia de agallas en tallos, peciolos y flores, y la pudrición y presencia de lesiones necróticas en bulbos y rizomas, que a menudo se observan en forma de anillos marrones al cortar los bulbos. *D. dipsaci* también podrá infestar las semillas, por ejemplo, de *Phaseolus vulgaris* (judía cometodo, habichuela verde o judía verde), *V. faba, Allium* spp. y *M. sativa*. Las semillas pequeñas generalmente no muestran síntomas de infestación visibles, pero las semillas más grandes podrán tener la superficie contraída con manchas decoloradas.

#### 3.1.1.1 Síntomas específicos en Gramineae

Avena sativa y Secale cereale (McDonald y Nicol, 2005). Las hojas se deforman, los tallos se engrosan y se produce un número anormal de macollos; la planta es achaparrada, arbustiva y raquítica. En el cultivo de *S. cereale*, *D. dipsaci* está presente sobre todo en suelos livianos pobres en humus y de forma natural en áreas donde se cultiva centeno regularmente. Los primeros signos de infestación se pueden observar a finales del otoño, pero son más evidentes en la primavera. La presencia de varias manchas en plantas con retraso del crecimiento en cultivos de centeno indica daños ocasionados por la plaga. Como las plantas de *A. sativa* infestadas tienen un crecimiento más lento, su color verde destaca cuando el cultivo amarillea. El *T. aestivum* afectado presenta los mismos síntomas que los otros cereales y solo es atacado por *D. dipsaci* en Europa central y oriental (Rivoal y Cook, 1993).

**Zea mays** no es un buen hospedante de *D. dipsaci*, pero la invasión de los tejidos del tallo en plantas jóvenes produce necrosis en esos tejidos y ocasiona el encamado o la muerte de la planta antes de la cosecha (Rivoal y Cook, 1993). Las hojas de las plantas infestadas son quebradizas y están retorcidas en espiral. Los entrenudos se acortan y la base del tallo se ahueca, mientras que las plantas más grandes se quiebran y se encaman.

#### 3.1.1.2 Síntomas específicos en Liliaceae

Allium cepa, Allium sativum y Allium cepa var. aggregatum (chalote). En la mayoría de las especies de Allium la infestación por D. dipsaci produce una deformación característica de las hojas y los bulbos (figuras 2, 3 y 4). La base de las plantas jóvenes se hincha y las hojas se deforman. Los bulbos infestados más viejos muestran engrosamiento (hinchazón) de las escamas, a menudo con grietas abiertas en el plato basal (Potter v Olthof, 1993). Cuando A. cepa es atacada por D. dipsaci, su apariencia es escarchada, debido a la disolución de las células ocasionada por la alimentación del nematodo (Ferris y Ferris, 1998). Los bulbos infestados tienden a pudrirse en poco tiempo durante el almacenamiento (Bridge y Hunt, 1986). Las escamas internas del bulbo en general son atacadas más severamente que las externas. A medida que avanza la temporada, los bulbos se ablandan y cuando se cortan se percibe el pardeamiento de las escamas en círculos concéntricos. En cambio, D. dipsaci no induce deformación de las hojas ni engrosamiento en A. sativum, pero ocasiona amarilleamiento y muerte de las hojas (Netscher y Sikora, 1990). Mollov et al. (2012) informaron por primera vez de la presencia de D. dipsaci en A. sativum en Minesota (Estados Unidos de América). Los síntomas detectados en los órganos aéreos de la planta fueron retraso del crecimiento y clorosis, mientras que los bulbos presentaban necrosis, subdesarrollo y deformación. En las hojas de Allium spp. infestadas podrán aparecer pequeñas vesículas (p. ej., zonas hinchadas como ampollas). No se observan síntomas de infestación en semillas infestadas de Allium. .

Tulipa spp. (Southey, 1993). Los síntomas de ataque por *D. dipsaci* en el tulipán, tanto en las plantas en crecimiento como en los bulbos, son bastante diferentes de los de *Narcissus* spp. En el campo, la infestación se detecta mejor en la floración; el primer signo es una lesión pálida o púrpura en un lado del tallo, inmediatamente por debajo de la flor, que se dobla hacia la lesión. La lesión aumenta de tamaño, la epidermis se resquebraja —revelando debajo un tejido laxo típico— y el daño se extiende hacia abajo y a menudo hacia arriba, a los pétalos. En ataques más severos, se extienden lesiones similares desde las axilas foliares hacia abajo, por los tallos, y el crecimiento podrá distorsionarse. Las infestaciones comienzan en la base de los bulbos nuevos, que surgen de yemas laterales de la base de los tallos existentes. Al retirar las escamas marrones exteriores, la infección se puede ver y notar en las escamas exteriores carnosas en forma de zonas blandas grises o marrones. Los bulbos infectados no muestran anillos marrones como en el narciso y en el jacinto.

#### 3.1.1.3 Síntomas específicos en Leguminosae

*Medicago sativa. D. dipsaci* es el nematodo plaga más importante de *M. sativa*. La infestación se produce con facilidad en los suelos más pesados y durante épocas de lluvias abundantes o en áreas regadas por aspersión. La llamada "bandera blanca", asociada con la pérdida de clorofila foliar, suele ser una característica de los cultivos infestados en condiciones de déficit hídrico (Griffin, 1985). En los campos infestados hay a menudo áreas irregulares de crecimiento escaso. Los síntomas típicos del

ataque por nematodos incluyen el engrosamiento basal, el enanismo y la torsión de los tallos y las hojas, el acortamiento de los entrenudos y la formación de abundantes yemas axilares, que producen un número anormal de tallos dando una apariencia arbustiva a la planta (McDonald y Nicol, 2005). Las plantas infestadas a veces no alcanzan una altura suficiente para su uso como heno (Ferris y Ferris, 1998) y a menudo no producen espigas florales (McDonald y Nicol, 2005). En la alfalfa, *D. dipsaci* es un factor predisponente para *Phytophtora megasperma*. El daño por *D. dipsaci* aumenta con la presencia de otros nematodos, saprófagos (de las especies *Rhabditis*, *Cephalobus* y *Panagrolaimus*) en las plantas enfermas y quebradas, los cuales contribuyen a acelerar su muerte (Andrássy y Farkas 1988). En las semillas de *Medicago* infestadas no se observan síntomas de infestación.

*Trifolium* spp. (Cook y Yeates, 1993). Los síntomas son bastante similares a los descritos para *M*. sativa, excepto en los tréboles rojo y blanco. La plaga invade el trébol rojo, sobre todo con tiempo frío y lluvioso. En el campo aparecen grandes áreas circulares de plantas enfermas; las más afectadas son las plantas del interior, y las situadas en el centro suelen estar marchitas. Las plantas se engrosan en la base, como bulbos, y las hojas se vuelven quebradizas y marchitas y sus nervaduras se engrosan visiblemente. Los primordios florales se hinchan en forma de agallas; una sola agalla floral podrá contener 5 000 nematodos (Courtney, 1962). Los tallos de trébol blanco infectados por *D. dipsaci* son cortos y están engrosados, las yemas forman matas y las partes infestadas se tornan de color marrón en verano o en otoño. Las hojas son más estrechas de lo habitual, pero con peciolos más gruesos y más cortos. Los botones florales están engrosados en la base (Andrássy y Farkas, 1988).

#### 3.1.1.4 Síntomas específicos en Solanaceae

*Solanum tuberosum. D. dipsaci* produce una podredumbre en forma de embudo que se extiende hacia el interior del tubérculo más que la podredumbre superficial causada por *D. destructor*. El nematodo invade los tallos y las hojas y esto origina el típico retraso del crecimiento de la planta acompañado de una severa deformación de los tallos y los peciolos (Evans y Trudgill, 1992).

*Nicotiana* spp. (Johnson, 1998). Los nematodos juveniles infectivos (en el cuarto estado) penetran en las hojas y los tallos de las plántulas de tabaco con tiempo húmedo y provocan pequeños engrosamientos amarillos (agallas) que podrán extenderse 40 cm o más por encima del suelo. A medida que aumenta el número de agallas, inicia una necrosis prematura del tejido vegetal. Las hojas inferiores podrán desprenderse y las superiores tornarse amarillas. Las agallas acaban por pudrirse, lo que detiene el crecimiento de las plantasinfectadas. Finalmente, y especialmente con tiempo frío y húmedo y en suelos pesados, los tallos infectados se quiebran y las plantas se caen.

#### 3.1.1.5 Síntomas específicos en Cruciferae

La infección por D. dipsaci en B. campestris madura podrá producir una pudrición severa de la corona.

#### 3.1.1.6 Síntomas específicos en Amaryllidaceae

Narcissus spp. (Southey, 1993). Los síntomas típicos son la presencia en las hojas de engrosamientos similares a ampollas de color amarillento pálido (vesículas) y los anillos marrones concéntricos que se pueden ver al cortar los bulbos transversalmente (figuras 5 y 6). Cuando los bulbos se cortan longitudinalmente se observa que la necrosis comienza por el cuello y se extiende hacia abajo. Los engrosamientos se observan mejor antes de la floración, cuando las hojas están en crecimiento activo. En ataques leves, es más fácil detectar los engrosamientos palpando con los dedos índice y pulgar que visualmente. La infección por *D. dipsaci* se puede detectar en los bulbos secos causando un daño mínimo a los mismos mediante un corte justo por debajo del cuello. Un examen exhaustivo en las etapas iniciales de la infestación revela áreas brillantes y esponjosas en las que las células se han separado; poco después se produce una necrosis parda.

#### 3.1.1.7 Síntomas específicos en otros hospedantes

*Fragaria* spp. *D. dipsaci* es la única especie de *Ditylenchus* considerada patógena de la fresa (Brown *et al.*, 1993). El daño se manifiesta por las hojas pequeñas y deformes y los peciolos, cortos, gruesos y retorcidos.

Familia Asparagaceae, subfamilia Scilloideae (jacintos) y otros bulbos (Southey, 1993). Los síntomas en los bulbos son los mismos que en *Narcissus* spp., pero generalmente no se observan engrosamientos evidentes en las hojas de las plantas. El follaje podrá presentar rayas amarillo pálido, deformación y a menudo un ligero engrosamiento. Otros bulbos liliáceos por lo general muestran los mismos síntomas que los jacintos. Los síntomas de infestación en las Amaryllidaceae son similares a los de *Narcissus* spp.; por ejemplo, *Galanthus* spp. y *Nerine* spp. muestran engrosamientos en las hojas y anillos marrones concéntricos en los bulbos.

Beta vulgaris y Daucus carota (Cooke, 1993). Al alimentarse, *D. dipsaci* destruye el punto de crecimiento de las plántulas (ocasionando la formación de múltiples coronas); los cotiledones y las hojas podrán retorcerse, hincharse y deformarse, y se podrán formar agallas en las hojas o en los peciolos de las plantas algo másviejas. Más avanzada la temporada, el nematodo al alimentarse de la corona podrá causar una podredumbre conocida como cancro de la corona, pudrición de la corona o del cuello, cuya primera manifestación visible son unas pústulas grisáceas en relieve, normalmente en las cicatrices de las hojas. La pudrición se desarrolla seguidamente hacia afuera y hacia abajo, expandiéndose por el hombro de la planta y permitiendo que la corona se desprenda al tirar de ella. En *D. carota*, otros síntomas podrán consistir en el desarrollo anormal de las hojas y la decoloración de la parte superior de la raíz principal. Los síntomas se producen principalmente en la raíz y el tallo de la planta, entre 2 cm y 4 cm por debajo y por encima del nivel del suelo. Las infestaciones severas causan la muerte de las hojas y la podredumbre de la corona, especialmente en otoño (Figura 7).

Phlox paniculata y otras plantas ornamentales (Southey, 1993). En el flox, los síntomas típicos de los brotes infestados son el engrosamiento y fragilidad y el acortamiento de los entrenudos de los tallos, que tienen tendencia a rajarse. El arrugamiento y reducción del limbo de las hojas superiores (las más altas podrán verse reducidas a delgados filamentos) son síntomas característicos y exclusivos de este hospedante. Ejemplos de plantas registradas como hospedantes con crecimiento anormal, engrosamiento y otros síntomas son las especies y cultivares de Anemone, Calceolaria, Cheiranthus, Gypsophila, Helenium, Heuchera, Lychnis, Lysimachia y Penstemon (Roberts, 1981). Edwards (1937) comunicó retraso del crecimiento, malformación foliar, pudrición y ausencia de floración en Primula spp. Las plantas leñosas no suelen resultar atacadas, pero D. dipsaci puede infestar a Hydrangea, causando deformación de los brotes no leñosos, engrosamiento de los peciolos y las nervaduras principales y un arrugamiento pronunciado del limbo de las hojas. Las hojas arrugadas suelen ser el primer signo de infección. Otra planta leñosa, Yucca smaliana, muestra deformación foliar y engrosamientos similares a ampollas.

#### 3.1.2 Ditylenchus destructor

Según Sturhan y Brzeski (1991), *D. destructor* parasita principalmente tubérculos (p. ej., papa y dalia), bulbos (p. ej., lirios bulbosos, tulipanes y gladiolos) y raíces cultivadas (p. ej., remolacha azucarera y zanahoria) y es capaz de destruir las hifas de *Agaricus hortensis* (champiñóncultivado). Otros hospedantes son *I. batatas*, *A. sativum*, *P. vulgaris*, *Angelica sinensis* (dong quai, angélica china o gingseng hembra), *Panax ginseng* (ginsén o ginseng), *Taraxacum officinale*, *Begonia* spp. y bulbos de *Erytronium denscanis* (diente de perro).

Solanum tuberosum y Dahlia spp. Durante el período de crecimiento no hay síntomas visibles. Los nematodos normalmente penetran en los tubérculos de papa a través de los estolones. La mayoría de los nematodos se localiza en el límite entre las partes de color pardo y las que no están dañadas. Si se toma una pequeña muestra de esta parte del tubérculo y se coloca en agua, la masa de pequeños nematodos se puede apreciar incluso con una simple lupa. Los primeros síntomas de infección por D. destructor son manchas pequeñas, de aspecto calizo, blancas o de color claro, que se pueden observar justo por debajo de la piel del tubérculo (Brodie, 1998). Estas manchas después se agrandan y se oscurecen gradualmente (pasando de gris a marrón oscuro y a negro) y adquieren una textura esponjosa (Figura 8) que es, sobre todo, el resultado de la invasión secundaria por bacterias, hongos y nematodos saprófitos (Brodie, 1998). Los tubérculos afectados suelen presentar áreas ligeramente hundidas, con la superficie agrietada, arrugada y apergaminada. La piel no es atacada, pero se vuelve delgada y se agrieta a medida que los tejidos subyacentes infectados se secan y encogen (Brodie, 1998). Finalmente se podrá producir

la momificación de todo el tubérculo. Dichos tubérculos totalmente dañados flotan en el agua (Figura 9). Por el contrario, la piel de *S. tuberosum* no suele agrietarse por la infestación por *D. dipsaci*. Los nematodos se siguen reproduciendo dentro de los tubérculos después de la cosecha y podrán llegar a formar poblaciones muy numerosas. Los síntomas podrán ser más visibles después del almacenamiento. Por lo general, en los tubérculos infestados se producen infecciones secundarias por hongos, bacterias y nematodos de vida libre.

*Beta vulgaris.* La infestación produce lesiones necróticas oscuras en las raíces y los rizomas. Dallimore y Thorne (1951) comunicaron síntomas similares a los del cancro de la corona. En la remolacha azucarera no solo ocasionan pérdida de rendimiento sino también una reducción del contenido de azúcar.

*Daucus carota.* La infestación produce grietas transversales en la piel de la zanahoria y manchas blancas en el tejido cortical. Las infecciones secundarias por hongos y bacterias en esas áreas también podrán producir descomposición. Este daño se observa fácilmente en una sección transversal de la zanahoria. El nematodo continúa con su actividad destructora durante el almacenamiento en invierno y las zanahorias dejan de ser aptas para el consumo.

*Iris* spp. y *Tulipa* spp. (Southey, 1993). La infestación produce marcas lineales grisáceas que se extienden hacia arriba desde la placa basal por las escamas carnosas exteriores. A medida que avanza la infestación, el daño se extiende por la superficie del bulbo y a través de sus tejidos y se produce una pudrición secundaria seca y fibrosa que causa el colapso del bulbo. Cuando se secciona transversalmente un bulbo infestado se perciben claramente unas manchas marrones anulares. El amarilleo y el marchitamiento descendente del follaje son síntomas secundarios causados por el daño en el bulbo y el eventual cese del funcionamiento de las raíces.

La infestación por *D. destructor* de los cormos de la planta ornamental *Liatris spicata* (liatris o liátride) almacenada en cámaras frigoríficas en Sudáfrica se manifestó en forma de podredumbre negruzca con nematodos vivos en diferentes estados en el tejido adyacente a las áreas en descomposición (Van der Vegte y Daiber, 1983).

#### 3.2 Extracción de los nematodos

#### 3.2.1 Extracción de los bulbos y del ajo

Para extraer los nematodos, las escamas afectadas de los bulbos (principalmente las interiores) o los dientes de ajo afectados se cortan en pequeños trozos y se ponen en un recipiente (p. ej., una placa de Petri) con agua de grifo a temperatura ambiente. Para obtener una suspensión clara los trozos se podrán colocar sobre un tamiz de  $200~\mu m$  a  $250~\mu m$  de abertura cubierto con papel de filtro, que actúa como soporte (técnica del plato de Oostenbrink). Al cabo de 1 hora o más, los nematodos se pueden observar con una lupa binocular (con un aumento de al menos  $40\times$ ).

#### 3.2.2 Extracción de muestras de suelo y de materiales vegetales

El método del embudo de Baermann es una técnica de referencia para la extracción de nematodos de muestras de suelo y de materiales vegetales (bulbos, raíces, cáscaras de papa y semillas). Se ajusta un tubo de goma al tallo del embudo y se cierra mediante una pinza de muelle o de tornillo. El embudo se coloca en un soporte y se llena casi hasta el borde con agua de grifo. La muestra de suelo o el tejido vegetal cortado en pedazos pequeños se coloca dentro de un trozo de muselina o en papel tisú, que se dobla alrededor del material y se sumerge suavemente en el agua del embudo. Los nematodos activos atraviesan el tejido y se hunden hasta el fondo del cuello del embudo. Transcurridas unas horas, o al día siguiente, se extrae una pequeña cantidad del agua que contiene los nematodos y se observa al microscopio (Flegg y Hooper, 1970).

Una variante de esta técnica consiste en sustituir el embudo por un plato. Se deshacen los terrones de suelo y se retiran las piedras y los residuos vegetales. La muestra de suelo (50 ml) se distribuye uniformemente en un círculo de papel absorbente de una sola capa sobre un tamiz de plástico de malla gruesa colocado sobre un recipiente de plástico. Se añade agua al recipiente hasta que la muestra de suelo esté completamente húmeda pero no sumergida. El recipiente se cubre con una placa de Petri

grande que hace de tapa para reducir la evaporación de agua. Esta estructura se mantiene al menos 24 horas; después se desecha el suelo y la suspensión de nematodos se vierte del recipiente a un plato para su examen con la ayuda de un microscopio de disección. La muestra de suelo se puede sustituir por tejido vegetal picado finamente (Kleynhans, 1997).

La técnica del nebulizador de Seinhorst para bulbos y raíces se diferencia del método del embudo de Baermann en que la savia de la planta y los productos tóxicos de la descomposición se eliminan mediante lavado. Para plantas como *Narcissus* spp. debería preferirse este método al del embudo de Baermann. Con este método, se coloca un embudo de Baermann o un plato de Oostenbrink en una nube o niebla de agua para evitar el agotamiento del oxígeno. La nube se produce mediante difusores que pulverizan agua sobre el material vegetal o bien hacia arriba, de manera que las gotitas caigan suavemente sobre el material vegetal. Los nematodos vivos abandonan el tejido vegetal y son lavados hacia el embudo o el plato, donde sedimentan. Los nematodos se recogen en intervalos de 24 a 48 horas en un vaso de precipitados de vidrio abriendo la pinza de tornillo ajustada a la salida del embudo, o bien los especímenes se recogen en un tamiz de 20 µm a 25 µm. Las extracciones pueden continuar durante un máximo de cuatro semanas. Esta técnica se describe en Hooper (1986).

Otro método para extraer *Ditylenchus* spp. de material vegetal se adaptó a partir de una descripción de Oliveira *et al.* (2013). El material vegetal se corta en trozos de 1 cm que se colocan en frascos de 500 ml llenos de agua de grifo. Se perforan dos agujeros en las tapas de los frascos; uno da acceso al tubo de una bomba de acuario y el otro sirve de salida de aire. El material se mantiene durante 72 horas continuamente aireado con ayuda de la bomba. La suspensión resultante se vierte a través de un tamiz de 1 000 µm para retirar los residuos vegetales y luego a través de un tamiz de 38 µm para extraer los nematodos. En este método, la aireación de la suspensión evita la pudrición del material vegetal, de manera que la proliferación de hongos y bacterias que se alimentan de este material es mínima y muchos de los nematodos permanecen vivos. La agitación que genera la aireación de la suspensión del material vegetal ayuda a desprender más nematodos del tejido radicular y, por tanto, se consigue una estimación mucho más precisa de la infestación del material vegetal.

Los nematodos también se pueden extraer del material vegetal mediante el método de Coolen y D'Herde (1972). El material vegetal se lava, se corta en pedazos de aproximadamente 0,5 cm y se maceran porciones de 5 g en 50 ml de agua de grifo en una licuadora doméstica a la velocidad de mezclado más baja durante 1 min. La desventaja de este método es que los especímenes de nematodos de mayor tamaño, como los adultos de *D. dipsaci*, pueden ser cortados en lalicuadora. La suspensión de nematodos y fragmentos de tejidos se lava a través de un tamiz de 750 µm colocado sobre otro de 45 µm. El residuo que queda en el tamiz de 45 µm se recoge y se vierte en dos tubos de centrifugadora de 50 ml. Se añade a cada tubo aproximadamente 1 ml de caolín, se agita bien la mezcla y a continuación se centrifuga durante 5 min a 3 000 rpm. El sobrenadante se decanta y se añade a los tubos una solución de sacarosa (densidad 1,13 g/cm³). La mezcla se agita bien y se centrifuga durante 1 min a 1 750 rpm. El sobrenadante se lava a través de un tamiz de 45 µm, y el residuo se recoge para estudiar los nematodos.

El procedimiento de prueba aplicado a legumbres secas y otros cultivos de leguminosas para detectar la presencia de *D. dipsaci* consta de dos pasos: 1) remojado de una cantidad de semillas en agua con aireación de un día para otro y 2) extracción de una porción de las semillas empapadas con nebulización durante tres días. La presencia de nematodos en el agua de remojo y en el extracto de la nebulización se determina mediante el tamizado de las fracciones acuosas de cada uno de los dos pasos y la posterior observación al microscopio para la identificación. El proceso lleva aproximadamente siete días, pero se puede acortar a tres días eliminando el paso 2 (la extracción con nebulización). El procedimiento modificado consiste en el remojado de las leguminosas en agua con aireación durante toda la noche, seguido del tamizado y la observación al microscopio para la identificación.

Para la extracción de nematodos de una muestra de suelo se puede utilizar el siguiente método (según Kleynhans, 1997). La muestra de suelo (250 ml) se lava a través de un tamiz de malla gruesa (2 mm) recogiendo el agua filtrada en un cubo de 5 litros y luego se añade agua de grifo hasta completar el volumen del cubo. La suspensión se agita y luego se deja reposar durante 30 segundos antes de verterla a través de un tamiz de 45 µm. Este procedimiento se repite con el suelo del cubo otras dos veces, pero

los tiempos de reposo se acortan, primero a 20 segundos y luego a 10 segundos. El residuo del tamiz de 45 µm se transfiere a tubos de centrifugadora de 50 ml. Si la solución de los tubos es muy arenosa se pueden añadir 5 ml de caolín a los tubos (mezclando bien) para facilitar la sedimentación de los nematodos. Los tubos se centrifugan durante 7 min a 1 750 rpm. El sobrenadante de cada tubo se decanta y se desecha. Se añade a los tubos una solución de azúcar (450 g/litro de agua) y esta mezcla de azúcar y suelo se agita bien antes de volver a centrifugarla durante 3 minutos a 1 750 rpm. El sobrenadante se vierte a través de un tamiz de 45 µm y el residuo, que contiene los nematodos, se recoge en un vaso de precipitados para ser examinado. Esta es una técnica básica y, en función de la habilidad del técnico y del tipo de suelo, se podrán perder hasta el 40% de los nematodos. Otros métodos que se podrán emplear para la extracción de nematodos de muestras de suelo son la técnica de Cobb modificada por Flegg y el método del elutriador de Oostenbrink (EPPO, 2013c). En Hooper *et al.* (2005) se describen diferentes métodos de extracción adaptados en función del tamaño, la densidad y la movilidad de los nematodos.

#### 4. Identificación

La identificación de *Ditylenchus* spp. por medios morfológicos está limitada a los especímenes adultos; en el examen deben observarse preferiblemente tanto los machos como las hembras de una especie con un microscopio de gran resolución. El uso de preparaciones microscópicas de buena calidad debería permitir identificar con certeza los especímenes de *D. dipsaci* y *D. destructor* adultos tan solo mediante el examen morfológico. La identificación morfológica de especímenes juveniles de *Ditylenchus* en una muestra solo debería utilizarse para confirmar la presencia de la especie en la muestra. Como las especies micófagas de *Ditylenchus* contaminan con frecuencia el material vegetal en descomposición, deben tomarse precauciones al identificar especímenes tanto en muestras de material vegetal como de suelo.

#### 4.1 Identificación morfológica

La identificación de *D. dipsaci* y *D. destructor* debería basarse preferiblemente en métodos morfológicos. Los métodos moleculares desarrollados para identificar a estas especies se pueden utilizar cuando los niveles de infestación sean bajos o cuando solo haya presencia de especímenes juveniles. Los métodos moleculares se pueden utilizar con adultos atípicos o dañados, y con todas las etapas de desarrollo, incluidos los estados juveniles, en las que la identificación morfológica de la especie no es posible.

#### 4.1.1 Preparación de los especímenes

Las preparaciones temporales, para la identificación rápida o para el estudio de características que se observan mejor en especímenes sin fijar, se realizan de la siguiente manera (Kleynhans, 1997):

- Los especímenes vivos se transfieren a una pequeña gota de agua sobre un portaobjetos.
- El portaobjetos se calienta brevemente pasándolo sobre la llama de un mechero de alcohol, comprobando frecuentemente el movimiento de los nematodos. Se debería dejar de calentar tan pronto como los especímenes dejen de retorcerse.
- Se coloca un cubreobjetos y se sellan los bordes con esmalte de uñas. Una vez seco el esmalte, el portaobjetos con los especímenes está pronto para su estudio.

Para el microscopio óptico, se extraen los nematodos vivos de la muestra de suelo o del material vegetal, se matan con calor suave (65 °C-70 °C), se fijan con solución de FAA (35 % de agua destilada, 10 % de formol (formaldehído al 40 %), 5 % de ácido acético glacial, 50 % de alcohol al 95 %) (Andrássy, 1984), se transfieren a glicerol (Hooper *et al.*, 2005) y se montan en glicerina anhidra sobre portaobjetos con cubreobjetos, como se describe en Seinhorst (1959) y Goodey (1963).

Para la identificación mediante microscopía óptica se recomienda el uso de un microscopio diferencial de contraste de interferencia con aumentos de 500× a 1 000× (con objetivos de inmersión en aceite).

#### 4.1.2 Caracteres morfológicos de diagnóstico

Hay claves de diagnóstico para las especies de *Ditylenchus* publicadas en Viscardi y Brzeski (1993) y en Brzeski (1998). En el Cuadro 1 (a continuación) se presenta una clave para distinguir *Ditylenchus* spp. de otros géneros de tilénquidos y afelénquidos.

Cuadro 1. Clave para distinguir Ditylenchus spp. de otros géneros de tilénquidos y afelénquidos

1	Abertura de la glándula esofágica dorsal cerca de la base del estilete; bulbo medio redondeado, ovoide o ausente	Tylenchida – 2
'	Abertura de la glándula esofágica dorsal en el bulbo medio; bulbo medio prominente, normalmente oblongo	Aphelenchida
	La parte anterior del esófago (procorpus) y el bulbo medio no están unidos en una única estructura; el estilete nunca es excepcionalmente largo	3
2	El procorpus se ensancha gradualmente y se fusiona con el bulbo medio; estilete muy largo, con la base a menudo situada en la parte anterior del bulbo medio	Otros géneros
3	Hembra adulta vermiforme	4
	La hembra adulta es un parásito sésil sacciforme o piriforme en raíces	Otros géneros
4	Bulbo medio valvular	5
	Bulbo medio sin válvula <sup>1</sup>	Otros géneros
5	Glándulas esofágicas contenidas en el bulbo basal, que no solapa o que solapa ligeramente el intestino; estructura cefálica raramente conspicua; estilete de débil a moderadamente fuerte	6
	Glándulas esofágicas de aspecto lobular que solapan el intestino; estructura cefálica marcada; estilete muy grande	Otros géneros
6	Ovario único prodélfico; vulva posterior	7
	Hembra con dos ovarios y anfidélfica; vulva ligeramente postecuatorial	Otros géneros
7	Hembra no hinchada con crustaformeria en forma de útero en columna con cuatro filas de cuatro células; en los machos, la bursa rodea un tercio o más de la cola	Ditylenchus
	Hembra hinchada con crustaformeria de más de 20 células	Otros géneros

Fuente: Adaptado de Heyns (1971) y Siddiqi (2000).

D. africanus, D. destructor, D. dipsaci, D. gigas y D. myceliophagus tienen una morfología y una morfometría similares, pero se pueden diferenciar entre sí mediante las siguientes características (Cuadro 2), siempre que sea posible medir y estudiar tanto especímenes machos como hembras.

<sup>&</sup>lt;sup>1</sup> Unas pocas especies de *Ditylenchus* que no son fitoparásitas carecen de bulbo medio valvular.

#### 4.1.2.1 Descripción de Ditylenchus dipsaci

Basado en Sturhan y Brzeski (1991), Wendt *et al.* (1995) y Brzeski (1998). Véanse los detalles y vistas de la Figura 10.

*Dimensiones* (criterios descritos en EPPO, 2013b). (Especímenes procedentes deavena, *Avena sativa* L., según Blake, 1962, en Hooper, 1972.). (n = 48♀♀): L = 1,3 mm ± 0,009; a = 62 ± 5,6; b = 15 ± 1,4; c = 14 ± 2,1; V = 80 ± 1,5. (n = 23♂♂): L = 1,3 mm ± 0,017; a = 63 ± 11,3; b = 15 ± 1,7; c = 14 ± 2,1; C = 72.

Morfología general. Cuerpo recto o casi recto en relajación. Banda lateral con cuatro líneas. Región cefálica continua con el contorno del cuerpo (Figura 10B). Estilete de 10-13 μm de longitud en las hembras y 10-12 μm en los machos. Cono del estilete de aproximadamente la mitad de la longitud del estilete, nódulos redondeados y bien desarrollados. Bulbo medio muscular con engrosamientos de las paredes del lumen de 4-5 μm de longitud (Figura 10A). Bulbo basal desplazado o que solapa el intestino unos pocos micrómetros. Poro excretor opuesto a la parte posterior del istmo o bulbo glandular. La parte postvulvar del saco uterino ocupa aproximadamente la mitad o ligeramente más de la distancia vulva-ano (Figura 10D). La bursa rodea las tres cuartas partes de la cola en los machos. Espículas de 23-28 μm de longitud. En ambos sexos, cola cónica con terminación aguda.

Caracteres morfológicos de diagnóstico. El número de líneas laterales (cuatro) (Figura 10F), el estilete comparativamente largo, la longitud del saco postvulvar y la cola aguda (Figura 10D) son los caracteres distintivos de esta especie (Andrássy, 2007). *D. dipsaci* se puede distinguir de *D. gigas* por el cuerpo más corto de las hembras (1,0-1,7 mm frente a 1,6-2,2 mm) y la mayor distancia vulva-ano (202-266 µm frente a 132-188 µm) (Vovlas *et al.*, 2011). Cuando se observan en vista lateral, la espícula está más curvada en *D. dipsaci* que en *D. destructor* (Figura 10C). En Karssen y Willemsen (2010) se ofrece más información sobre la espícula y su utilidad para la identificación de *D. dipsaci* y *D. destructor*. Debe señalarse que la semilla de *V. faba* contiene principalmente larvas en el cuarto estado.

#### 4.1.2.2 Descripción de Ditylenchus destructor

Basado en Sturhan y Brzeski (1991) y Brzeski (1998). Véanse los detalles y vistas de la Figura 11.

*Dimensiones* (según Goodey, 1952, de especímenes procedentes de diversas plantas superiores hospedantes). (n = 237♀♀): L = 1,07 (0,69-1,89) mm; a = 32 (18-49); b = 7 (4-12); c = 17 (9-30); V = 80 (73-90). (n = 231♂♂): L = 0,96 (0,76-1,35) mm; a = 35 (24-50); b = 7 (4-11); c = 14 (11-21); C = 65 (40-84).

Morfología general. Los adultos de D. destructor son animales diminutos de aspecto vermiforme, de 0,8-1,4 mm de longitud, 23-47 µm de anchura y ligeramente arqueados ventralmente. Los adultos presentan una considerable variabilidad morfométrica en función del hospedante y la edad. El aspecto general de los machos y las hembras es similar. Banda lateral con seis líneas (Figura 11F) que se reducen a dos en las regiones del cuello y la cola. Cutícula y región cefálica finamente anilladas, región cefálica a menudo más estrecha que el cuerpo adyacente, en la que se distinguen unos cuatro anillos cefálicos mediante microscopía electrónica de barrido (Wendt et al., 1995). Estilete de 10-12 µm de longitud, aunque ocasionalmente se han descrito especímenes con estiletes de 14 µm. Cono del estilete del 45-50% de la longitud del estilete, con nódulos definidos, redondeados e inclinados hacia atrás. Bulbo medio muscular con engrosamientos de las paredes del lumen (o válvula) de unos de 3 µm de longitud. El bulbo posterior solapa ligeramente el intestino en la porción dorsal del cuerpo, aunque ocasionalmente se observan especímenes con el bulbo glandular separado (Figura 11A). Poro excretor opuesto a las glándulas esofágicas. El saco postvulvar se extiende unas tres cuartas partes de la distancia vulva-ano (Figura 11E). Huevos dos veces más largos que anchos (Andrássy, 2007). Labios de la vulva gruesos y elevados (Figura 11B). Ovario anterior ensanchado, que a veces alcanza la región esofágica. Parte postvulvar del saco uterino del 40-98% de la distancia vulva-ano, sin función de espermateca (Figura 11E). La bursa de los machos rodea la cola en un 50-90% de su longitud. Espículas de 24-27 um de longitud. La forma de la espícula de D. dipsaci difiere de la de D. destructor en que presenta un túmulo ventral en la región del cálamo de la espícula (Figura 12) (Karssen y Willemsen, 2010).

Testículos ensanchados cercanos a la base del esófago. En ambos sexos, cola cónica, de longitud de tres a cinco veces la anchura anal del cuerpo, normalmente curvada ventralmente y con terminación redondeada.

Caracteres morfológicos de diagnóstico. D. destructor es similar a D. dipsaci, pero se diferencia de esa especie por la banda lateral con seis líneas (Figura 11F), el saco postvulvar más largo y la terminación de la cola finamente redondeada (Figura 11D). Morfológicamente, D. destructor se diferencia de D. africanus principalmente por la longitud del estilete, que puede solapar ligeramente, y la longitud de la espícula, lo cual implica que debe haber machos presentes en la población. Dado que la técnica de la reacción en cadena de la polimerasa (PCR por sus siglas en inglés) es suficientemente sensible para detectar diferencias entre géneros emparentados estrechamente, Wendt et al. (1995) utilizaron polimorfismos de longitud de los fragmentos de restricción (RFLP por sus siglas en inglés) para distinguir D. destructor de D. africanus. Cuando se observan en vista lateral, la espícula está menos curvada en D. dipsaci que en D. destructor (Figura 11C).

Observaciones. Los caracteres mencionados podrán variar y la identificación hasta el nivel de la especie es casi imposible basándose en un único espécimen. Se recomienda examinar al menos un espécimen macho y uno hembra. Las líneas laterales del macho, por ejemplo, podrán en ocasiones reducirse a cuatro cerca de la cola, según un patrón similar al de *D. dipsaci*.

**Cuadro 2.** Comparación entre las características diagnósticas de *Ditylenchus africanus*, *Ditylenchus destructor*, *Ditylenchus dipsaci*, *Ditylenchus gigas* y *Ditylenchus myceliophagus* 

Caracteres	D. destructor (según Hooper, 1973)	D. africanus (según Wendt et al., 1995)	D. myceliophagus (según Hesling, 1974)	D. gigas (según Vovlas et al., 2011)	D. dipsaci (según Hooper, 1972)
Longitud del cuerpo de la hembra (mm)	0,8-1,9	0,7-1,1	0,6-1,4	1,6-2,2	1,0-1,7
Número de líneas laterales	6	6-15	6	4	4
Forma de la terminación de la cola	Redondeada	Redondeada	Redondeada	De aguda a finamente redondeada	Aguda
c (longitud del cuerpo/longitud de la cola) de la hembra	14-20	8,8-16,9	8,2-17	15,7-27,6	11-20
Bulbo posterior	Corto, solapa dorsalmente	Corto, solapa dorsalmente	Corto, solapa dorsalmente	Solapa ligeramente	No solapa
Longitud del estilete (µm) de la hembra	10-14	8-10	7-8	10,5-13,0	10-12
Longitud SUP/vulva-ano (%) <sup>1</sup>	53-90	37-85	30-69	Aprox. 50 <sup>2</sup>	40-70

Caracteres	D. destructor (según Hooper, 1973)	D. africanus (según Wendt et al., 1995)	D. myceliophagus (según Hesling, 1974)	D. gigas (según Vovlas et al., 2011)	D. dipsaci (según Hooper, 1972)
Longitud de la espícula (µm)	24-27	17-21	15-20	23,5-28	23-28
Longitud de la bursa (como % de la longitud de la cola)	50-70	48-66	20-55	72-76	40-70
Preferencia de hospedante <sup>3</sup>	Plantas superiores y micelios de hongos	Cacahuetes (maníes) y hongos	Micelios de hongos	Plantas superiores	Plantas superiores y hongos

<sup>&</sup>lt;sup>1</sup> SUP: saco uterino postvulvar (parte postvulvar del saco uterino).

#### 4.2 Identificación molecular

En caso necesario, la identificación de la especie, *D. dipsaci* o *D. destructor*, puede realizarse mediante análisis molecular, especialmente cuando las especies se puedan confundir (p. ej., *D. myceliophagus*, *D. africanus* o *D. gigas*) y no sea posible distinguirlas de manera concluyente de la especie objetivo mediante el estudio morfológico.

En este caso, la solución que contiene los especímenes de nematodo se debería almacenar preferentemente en condiciones de frío (es decir, refrigerada) durante no más de unos pocos días antes de la extracción del ADN.

En este protocolo de diagnóstico, los métodos (incluyendo las referencias a nombres comerciales) se describen según se publicaron, ya que con ello se definió el nivel inicial de sensibilidad, especificidad y/o reproducibilidad adquirido. El uso de nombres de reactivos, productos químicos o equipo en estos protocolos de diagnóstico no implica su aprobación ni la exclusión de otros que también podrán ser adecuados. Los procedimientos de laboratorio presentados en los protocolos podrán ajustarse a las normas de los laboratorios individuales, siempre que estén adecuadamente validadas.

#### 4.2.1 Ditylenchus dipsaci

Se han desarrollado diversos métodos moleculares para la identificación de D. dipsaci.

La diversidad genética entre las especies de *Ditylenchus* y el concepto de razas en la especie *D. dipsaci* se investigaron mediante hibridación de Southern (Wendt *et al.*, 1993) y electroforesis (Tenente y Evans, 1997; Palazova y Baicheva, 2002).

Asimismo se han investigado a fondo métodos moleculares, principalmente la PCR o la PCR-RLFP para la identificación de especies y la detección de la variabilidad poblacional mediante el análisis de secuencia (Leal-Bertioli *et al.*, 2000; Zouhar *et al.*, 2002).

Se han publicado seis pruebas moleculares (PCR, PCR-RLFP) que se pueden utilizar para la identificación de *D. dipsaci* y que se describen en las secciones 4.2.4 a 4.2.9. En la descripción de cada prueba se incluye su especificidad, así como el género y la especie de nematodo utilizados para evaluar la prueba.

<sup>&</sup>lt;sup>2</sup> Calculado a partir de la descripción de la especie.

<sup>&</sup>lt;sup>3</sup> Útil en caso de que los criterios morfológicos sean confusos.

El análisis molecular de secuencias de ADN ribosómico (ADNr) de diferentes regiones (la región ITS1-5.8S-ITS2 [donde ITS son las siglas en inglés de "espaciador transcrito interno"], el fragmento D2-D3 del gen 28S, la subunidad pequeña 18S, un fragmento del gen mitocondrial de la *citocromo c oxidasa I* [ADN mitocondrial o ADNmt] y las secuencias génicas *hsp90* [ADN nuclear o ADNn]) permite distinguir claramente *D. gigas* de *D. dipsaci* s.s. (Vovlas *et al.*, 2011).

#### 4.2.2 Ditylenchus destructor

El diagnóstico molecular de *D. destructor* se basa en la PCR-RFLP o en la secuenciación de la región ITS del gen del ARNr.

Wendt *et al.* (1993) demostraron que la PCR-RFLP de la región ITS permitía distinguir especímenes de *D. destructor* parásitos de la papa de dos razas de *D. dipsaci* y de *D. myceliophagus* y publicaron los patrones de diagnóstico mediante RLFP de las tres especies. *D. africanus* se puede distinguir de *D. destructor* mediante una combinación de los siguientes caracteres: RFLP generados por siete enzimas de restricción en la región ITS del ADNr.

Ji *et al.* (2006) determinaron los patrones de RFLP de varias poblaciones de *D. destructor* de la batata y revelaron varias diferencias entre ellos .

Powers *et al.* (2001) secuenciaron por primera vez la región ITS1 de *D. dipsaci*, pero la base de datos GenBank contiene actualmente más de 50 registros de fragmentos de ARNr de *D. destructor* recogidos en distintas localidades y plantas hospedantes.

#### 4.2.3 Extracción deADN

Se transfieren varios juveniles o adultos a un microtubo y se extrae el ADN según se describe en Webster *et al.* (1990).

#### 4.2.4 Prueba PCR-RLFP de la región ITS del ADNr para D. dipsaci y D. destructor

Esta prueba fue desarrollada por Wendt et al. (1993).

Metodología

En esta prueba se utilizan como cebadores universales las siguientes secuencias de la región ITS del ADNr (según se describen en Vrain *et al.* [1992]):

18S: 5'-TTG ATT ACG TCC CTG CCC TTT-3'

26S: 5'-TTT CAC TCG CCG TTA CTA AGG-3'

Los amplicones correspondientes a *D. dipsaci* y *D. myceliophagus* tienen 900 pares de bases (pb), y el correspondiente a *D. destructor* tiene 1 200 pb.

La amplificación se realiza con kits de PCR que contienen ADN polimerasa Taq, nucleótidos y tampón de reacción, siguiendo las recomendaciones del fabricante.

Los parámetros de ciclado de la PCR¹ consisten en un primer ciclo de 1,5 min a 96 °C, 30 s a 50 °C y 4 min a 72 °C; 40 ciclos de 45 s a 96 °C, 30 s a 50 °C y 4 min a 72 °C; y un ciclo final de 45 s a 96 °C, 30 s a 50 °C y 10 min a 72 °C. Tras la amplificación del ADN, 2-5 µl del producto se revelan en un gel de agarosa al 1%. El remanente se almacena a –20 °C y se utiliza para analizar los RFLP. Varias enzimas de restricción son útiles para distinguir *D. destructor* y *D. dipsaci* de otras especies de *Ditylenchus*; por ejemplo, *Hae*III, *Hpa*II, *Hin*fI y *Rsa*I (Wendt *et al.*, 1993). En el Cuadro 3 se indican las longitudes de los fragmentos de restricción generados por estas enzimas de diagnóstico.

<sup>&</sup>lt;sup>1</sup> Los parámetros de ciclado de la PCR son los descritos en el artículo original (Wendt *et al.*, 1993). Las mejoras en los termocicladores y los reactivos para la PCR podrán conllevar la revisión de estos parámetros de ciclado.

**Cuadro 3.** Longitud aproximada (pb) de los fragmentos RFLP de la región ITS del ADNr de especies de *Ditylenchus* generados por cuatro enzimas de restricción

Enzima	D. destructor	D. myceliophagus	D. dipsaci	D. gigas¹	D. africanus
Producto de la PCR sin restricción	1 200	900	900	900	1 000
Haelll	450, 170	450, 200	900	800, 200	650, 540
Hpall	1 000	900	320, 200, 180	600, 200	950
Hinfl	780, 180	630, 310	440, 350, 150	350, 150	450, 340, 150, 130, 100
Rsal	600, 250, 170	900	450, 250, 140	490, 450	690, 450

Fuente: Wendt et al. (1993, 1995).

#### 4.2.5 Prueba de PCR basada en SCAR para D. dipsaci

Esta prueba de PCR basada en regiones amplificadas caracterizadas por secuencias (SCAR) desarrollada por Esquibet *et al.* (2003) se diseñó como prueba específica a nivel de especie para *D. dipsaci*, diferenciando entre las razas normal y gigante. Se evaluó respecto a *D. myceliophagus* (una población), la raza normal de *D. dipsaci* (11 poblaciones de diferentes hospedantes y procedencias) y la raza gigante de *D. dipsaci*, descrita como *D. gigas* por Vovlas *et al.* (2011) (11 poblaciones de distintas procedencias aisladas de *V. faba*).

Metodología

Los cebadores específicos para *D. dipsaci* utilizados son:

D. dipsaci (raza normal):

H05: 5' -TCA AGG TAA TCT TTT TCC CCA CT-3'

H06: 5'-CAACTG CTA ATG CGT GCT CT-3'

D. dipsaci (raza gigante, descrita como D. gigas por Vovlas et al. (2011)):

D09: 5' -CAA AGT GTT TGA TCG ACT GGA-3'

D10: 5'-CAT CCC AAA ACA AAG AAA GG-3'

El amplicón correspondiente a *D. dipsaci* (raza normal) tiene aproximadamente 242 pb y el correspondiente a *D. dipsaci* (raza gigante) 198 pb. Con ambos pares de cebadores no se observa amplificación con especies y razas no-objetivo (Esquibet *et al.*, 2003).

Los  $10\,\mu l$  de la mezcla de la PCR están compuestos por: 1,5 mM de MgCl<sub>2</sub>,  $250\,\mu M$  de cada dNTP, 690 nM de cada cebador para la PCR dúplex (H05-H06) o (D09-D10) o 500 nM de cada cebador para la PCR múltiplex (H05-H06-D09-D10) y 0,5 U de polimerasa de ADN Taq. Los parámetros de ciclado son: desnaturalización inicial de 3 min a 94 °C; 30 ciclos de 1 min a 94 °C, 1 min a 59 °C y 1 min a 72 °C; y una extensión final de 10 min a 72 °C. Los productos de la PCR se analizan mediante electroforesis en gel de agarosa.

pb: pares de bases; ITS: espaciador transcrito interno; PCR: reacción en cadena de la polimerasa; RLFP: polimorfismo de longitud de los fragmentos de restricción; ARNr: ARN ribosómico.

<sup>&</sup>lt;sup>1</sup> Denominado raza gigante de *D. dipsaci* en la publicación original.

#### 4.2.6 Prueba de PCR específica para 18S e ITS1 para D. dipsaci

Esta prueba desarrollada por Subbotin *et al.* (2005) se diseñó como prueba específica para *D. dipsaci* s.s. (solo la raza normal). Se evaluó respecto a *D. destructor* (una población), la raza normal de *D. dipsaci* (18 poblaciones de diferentes hospedantes y procedencias) y *Ditylenchus* sp. (12 poblaciones de distintos hospedantes y procedencias).

Metodología

Los cebadores específicos para D. dipsaci utilizados son:

ADNr2: 5' -TTT CAC TCG CCG TTA CTA AGG-3' (Vrain et al., 1992)

DitNF1: 5'-TTA TGA CAA ATT CAT GGC GG-3'

El amplicón correspondiente a *D. dipsaci* s.s. (no incluye la raza gigante, más tarde llamada *D. gigas*) tiene aproximadamente 263 pb. No se observa amplificación con especies no objetivo.

Los  $25\,\mu l$  de la mezcla de la PCR están compuestos por:  $1\times$  de tampón de PCR  $10\times$  con  $15\,m M$  de MgCl<sub>2</sub>, 0,2 mM de cada dNTP, 60 nM de cada cebador y 1 U de polimerasa de ADN Taq. La PCR se realiza en un termociclador de tipo Peltier de 96 pocillos (PTC100, MJ Research²) con los siguientes parámetros de ciclado: una fase inicial de 4 min a 94 °C; 35 ciclos de 15 s a 94 °C, 30 s a 57 °C y 30 s a 72 °C; y una extensión final de 10 min a 72 °C. Los productos de la PCR se analizan mediante electroforesis en gel de agarosa.

#### 4.2.7 Prueba de PCR específica para ADNr 5.8S para D. dipsaci

Esta prueba desarrollada por Marek *et al.* (2005) se diseñó como prueba específica para *D. dipsaci*. Se evaluó respecto a *D. dipsaci* (tres poblaciones europeas de diferentes hospedantes) y poblaciones de géneros no objetivo (*Globodera pallida, Bursaphelenchus xylophilus, Rhabditis* spp.).

Metodología

Se crearon dos pares de cebadores específicos para la identificación de *D. dipsaci*, pero el más sensible (detección de 10 pg de ADN objetivo) fue:

PF1: 5' -AAC GGC TCT GTT GGC TTC TAT-3'

PR1: 5'-ATT TAC GAC CCT GAG CCA GAT-3'

Con este par de cebadores el amplicón correspondiente a D. dipsaci tiene aproximadamente 327 pb.

Los 25  $\mu$ l de la mezcla de la PCR están compuestos por: tampón de Taq 1 $\times$ , 1,5 mM de MgCl<sub>2</sub>, 200  $\mu$ M de cada dNTP, 10 pmol de cada cebador (par de cebadores PF1-PR1) y 1,5 U de polimerasa de ADN Taq (Fermentas²). La prueba de PCR se realiza en un termociclador de tipo Peltier de 96 pocillos (PTC200, MJ Resarch²) con los siguientes parámetros de ciclado: 3 min a 94 °C; 30 ciclos de 2 min a 94 °C, 30 s a 62 °C y 2 min a 72 °C; y una extensión final de 10 min a 72 °C. Los productos de la PCR se analizan mediante electroforesis en gel de agarosa.

#### 4.2.8 Prueba de PCR específica para ADNr 5.8S e ITS para D. dipsaci

Esta prueba desarrollada por Kerkoud *et al.* (2007) se diseñó como prueba específica para *D. dipsaci*. Se evaluó respecto a *D. dipsaci* (diez poblaciones de diferentes hospedantes y procedencias), *D. africanus*, *D. destructor*, *D. myceliophagus*, *Aphelenchoides ritzemabosi* (una población por cada

<sup>&</sup>lt;sup>2</sup> En este protocolo de diagnóstico, los métodos (con inclusión de las referencias a nombres comerciales) se describen según se publicaron, ya que con ello se definió el nivel inicial de sensibilidad, especificidad y/o reproducibilidad adquirido. El uso de nombres de reactivos, productos químicos o equipo en estos protocolos de diagnóstico no implica su aprobación ni la exclusión de otros que también podrán ser adecuados. Los procedimientos de laboratorio presentados en los protocolos podrán ajustarse a las normas de los laboratorios individuales, siempre que estén adecuadamente validadas.

especie) y *Ditylenchus* sp. (según la publicación y actualmente descrita como *D. gigas*) (diez poblaciones de distintas procedencias aisladas de *V. faba*).

Metodología

Se utilizan dos pares de cebadores específicos, uno para la identificación de *D. dipsaci* solamente y otro para la identificación de *D. gigas* y *D. dipsaci*. La utilización de ambos pares de cebadores permite distinguir a *D. gigas* de *D. dipsaci*. Estos cebadores son:

Primer par de cebadores:

DdpS1: 5' -TGG CTG CGT TGA AGA GAA CT-3'

ADNr2: 5'-TTT CAC TCG CCG TTA CTA AGG-3' (Vrain et al., 1992)

El amplicón correspondiente a *D. dipsaci* tiene aproximadamente 517 pb. No se observa amplificación de especies no objetivo, incluida *D. gigas*.

Segundo par de cebadores:

DdpS2: 5' -CGA TCA ACC AAA ACA CTA GGA ATT-3'

ADNr2: 5'-TTT CAC TCG CCG TTA CTA AGG-3' (Vrain et al., 1992)

El amplicón correspondiente a D. dipsaci y D. gigas tiene aproximadamente 707 pb.

Los 20  $\mu$ l de la mezcla de la PCR están compuestos por: 1,5 mM de tampón de amplificación con una concentración final de 5 mM de MgCl<sub>2</sub>, 200  $\mu$ M de cada dNTP, 0,5  $\mu$ M de cada cebador (en la PCR simplex con DdpS1-ADNr2 o DdpS2-ADNr2; en la PCR dúplex, la concentración final de cebador DdpS1 es de 0,5  $\mu$ M, mientras que es de 1  $\mu$ M para DdpS2 y ADNr2) y 1 U de polimerasa de ADN Taq (MP Biomedicals²). La PCR se realiza en un termociclador de tipo Peltier de 96 pocillos (GeneAmp 9600 PCR System, Perkin Elmer²) con los siguientes parámetros de ciclado: 1 min a 94 °C; 40 ciclos de 30 s a 94 °C, 30 s a 60 °C y 45 s a 72 °C; y una extensión final de 10 min a 72 °C. Los productos de la PCR se analizan mediante electroforesis en gel de agarosa.

#### 4.2.9 Prueba de PCR basada en SCAR para D. dipsaci

Esta prueba de PCR basada en SCAR desarrollada por Zouhar *et al.* (2007) se diseñó como prueba específica para *D. dipsaci*. Se evaluó solamente respecto a *D. dipsaci* (diez poblaciones europeas de diferentes hospedantes).

Metodología

Se diseñaron dos pares de cebadores específicos para la identificación de D. dipsaci:

Primer par de cebadores:

DIT\_2 forward: 5' -GCA ATG CAC AGG TGG ATA AAG-3'

DIT 2 reverse: 5'-CTG TCT GTG ATT TCA CGG TAG AC-3'

Con este par de cebadores el amplicón correspondiente a D. dipsaci tiene aproximadamente 325 pb.

Segundo par de cebadores:

DIT\_5 forward: 5' -GAA AAC CAA AGA GGC CGT AAC-3'

DIT 5 reverse: 5'-ACC TGA TTC TGT ACG GTG CAA-3'

Con este par de cebadores el amplicón correspondiente a D. dipsaci tiene aproximadamente 245 pb.

Los  $25 \,\mu l$  de la mezcla de la PCR están compuestos por: tampón de PCR  $1 \times$  (Fermentas²), 1,5 mM de MgCl<sub>2</sub>, 200  $\mu M$  de cada dNTP, 10 pmol de cada cebador (bien del par de cebadores DIT\_2 o del DIT\_5), 1,5 U de polimerasa de ADN Taq (Fermentas²) y 50 ng de ADN como molde. La PCR se realiza en un termociclador de tipo Peltier de 96 pocillos (PTC200, MJ Research²) con los siguientes parámetros de

ciclado: 3 min a 94 °C; 30 ciclos de 1 min a 94 °C, 30 s a 60 °C y 1 min a 72 °C; y una extensión final de 10 min a 72 °C. Los productos de la PCR se analizan mediante electroforesis en gel de agarosa.

#### 4.2.10 Controles para las pruebas moleculares

Para considerar fidedigno el resultado de la prueba, en cada serie de aislamiento de ácido nucleico y de amplificación del ácido nucleico de la plaga objetivo o del ácido nucleico objetivo se deberían tener en cuenta los controles adecuados, que dependerán del tipo de prueba utilizada y del grado de certidumbre requerido. Deberían utilizarse, como mínimo, un control positivo de ácido nucleico, un control negativo de amplificación y un control negativo de extracción.

Control positivo de ácido nucleico. Este control se utiliza para hacer un seguimiento de la eficiencia de la amplificación (además de la extracción). Se podrá utilizar ácido nucleico previamente preparado (almacenado) del nematodo objetivo.

Control negativo de amplificación (control sin molde). Este control es necesario para la PCR convencional a fin de descartar falsos positivos por contaminación durante la preparación de la mezcla de reacción. El agua de calidad apta para PCR que se utilizó para preparar la mezcla de reacción se añade en la fase de amplificación.

Control negativo de extracción. Este control se utiliza para hacer un seguimiento de la contaminación durante la extracción del ácido nucleico. El control comprende la extracción del ácido nucleico y la posterior amplificación solamente del tampón de extracción. Cuando se prevé analizar un gran número de muestras positivas se recomienda utilizar controles múltiples.

#### 4.2.11 Interpretación de los resultados de la PCR convencional

La PCR específica del patógeno solo se considerará válida si se cumplen los dos criterios siguientes:

- el control positivo produce un amplicón del tamaño correcto para la especie de nematodo objetivo,
- no se producen amplicones del tamaño correcto para la especie de nematodo objetivo en el control negativo de extracción ni en el control negativo de amplificación.

#### 5. Registros

Los registros y las evidencias deberían conservarse según lo descrito en la NIMF 27 (*Protocolos de diagnóstico para las plagas reglamentadas*).

En los casos en los que otras partes contratantes puedan verse afectadas en forma desfavorable por el diagnóstico, los registros y las evidencias (en particular, especímenes preservados o montados en portaobjetos, fotografías de estructuras morfológicas distintivas, extractos de ADN y fotografías de geles, según corresponda) deberían conservarse por lo menos durante un año.

#### 6. Puntos de contacto para información adicional

Puede obtenerse información adicional sobre este protocolo en las siguientes fuentes:

Biosystematics Division, ARC-PPRI, Private Bag X134, Queenswood, 0121 República de Sudáfrica (Antoinette Swart; correo electrónico: <a href="mailto:SwartA@arc.agric.za">SwartA@arc.agric.za</a>).

Plant Pest Diagnostic Center, California Department of Food and Agriculture, 3294 Meadowview Road, Sacramento, CA 95832-1448, Estados Unidos de América (Sergei Subbotin; correo electrónico: subbotin@ucr.edu).

Charlottetown Laboratory – Potato Diseases, Canadian Food Inspection Agency, 93 Mount Edward Rd, Charlottetown PEI, C1A 5T1, Canadá (Harvinder Bennypaul; correo electrónico: bennypaulhs@inspection.gc.ca).

Podrán presentar una solicitud de revisión de un protocolo de diagnóstico las organizaciones nacionales de protección fitosanitaria (ONPF), las organizaciones regionales de protección fitosanitaria (ORPF) o los órganos auxiliares de la Comisión de Medidas Fitosanitarias (CMF) a través de la Secretaría de la

Convención Internacional de Protección Fitosanitaria (<u>ippc@fao.org</u>), que a su vez remitirá la solicitud al Grupo técnico sobre protocolos de diagnóstico (GTPD).

#### 7. Agradecimientos

El presente protocolo fue redactado por Antoinette Swart (Unidad de nematología, División de biosistemática, ARC-PPRI, República de Sudáfrica), Eliseo Jorge Chaves (INTA-Estación Experimental de Balcarce, Laboratorio de Nematología, Argentina) y Renata C.V. Tenente (EMBRAPA, Recursos Genéticos y Biotecnología, Brasil).

La descripción de las técnicas moleculares fue realizada por Sergei Subbotin (Centro de diagnóstico de plagas vegetales, Departamento de Alimentos y Agricultura de California, 3294 Meadowview Road, Sacramento, CA 95832-1448, Estados Unidos de América).

Los siguientes nematólogos mejoraron el protocolo con sus observaciones:

- Harvinder Bennypaul (Agencia Canadiense de Inspección de Alimentos, Canadá)
- Johannes Hallmann (Instituto Julius Kühn, Alemania)
- Mikhail Pridannikov (Centro de Parasitología, Instituto de Ecología y Evolución A.N. Severtsov, Rusia)
- P. Castillo (Instituto de Agricultura Sostenible, Consejo Superior de Investigaciones Científicas, España).

#### 8. Referencias

La presente norma refiere a las Normas Internacionales para Medidas Fitosanitarias (NIMF). Las NIMF se encuentran disponibles en el Portal fitosanitario internacional (PFI): <a href="https://www.ippc.int/es/core-activities/standards-setting/ispms">https://www.ippc.int/es/core-activities/standards-setting/ispms</a>.

- **Andrássy, I.** 1984. Klasse Nematoda (Ordnungen Monhysterida, Desmoscolecida, Araeolaimida, Chromadorida, Rhabditida). En Bestimmungsbücher zur Bodenfauna Europas, págs. 24-25. Stuttgart (Alemania), Gustav Fischer Verlag. 509 págs.
- **Andrássy, I.** 2007. *Free-living nematodes of Hungary (Nematoda Errantia) II.* En *Pedazoologica Hungarica*, n. ° 4, págs. 145-154. Budapest, Museo de historia natural de Hungría y Grupo de investigación de zoología sistemática de la Academia Húngara de las Ciencias. 496 págs.
- **Andrássy, I. y Farkas, K.** 1988. *Kertészeti növények fonálféreg kártevői.* Budapest (Hungría), Mezőgazdasági Kiadó, págs. 181-198. 418 págs.
- **Barker, J.R. y Lucas, G.B.** 1984. *Nematode parasites of tobacco*. En *Plant and insect nematodes* (W.R. Nickle, ed.), págs. 213-242. Nueva York (Estados Unidos de América), Marcel Dekker Inc. 925 págs.
- **Bridge, J. y Hunt, D.** 1986. *Nematodes*. En *Pest control in tropical onions*, págs. 65-77. Londres (Reino Unido), Instituto de desarrollo tropical e investigación y Oficina de la Administración de Desarrollo de Ultramar, Instituto de desarrollo tropical e investigación, 109 págs.
- **Brodie, B.B.** 1998. *Potato*. En *Plant and nematode interactions* (K.R. Barker, G.A. Pederson y G.L. Windham, eds.), págs. 567-594. Madison, WI (Estados Unidos de América), American Society of Agronomy, Inc., Crop Science Society of America, Inc. y Soil Science Society of America, Inc. 772 páginas.
- **Brown, D.J.F., Dalmasso, A. y Trudgill, D.L.** 1993. *Nematode pests of soft fruits and vines*. En *Plant parasitic nematodes in temperate agriculture* (K. Evans, D.L. Trudgill y J.M. Webster, eds.), págs. 427-462. Wallingford (Reino Unido), CABI. 656 págs.
- **Brzeski, M.W.** 1998. *Nematodes of Tylenchina in Poland and temperate Europe*. Varsovia (Polonia), Museo e Instituto de Zoología, Academia Polaca de las Ciencias. 397 págs.

- **Chizhov, V.N., Borisov, B.A. y Subbotin, S.A.** 2010. A new stem nematode, Ditylenchus weischeri sp.n. (Nematoda: Tylenchida), a parasite of Cirsium arvense (L) Scop. in the Central Region of the Non-Chernozem Zone of Russia. Russian Journal of Nematology, 18, págs. 95-102.
- Cook, R. y Yeates, G.W. 1993. Nematode pests of grassland and forage crops. En Plant parasitic nematodes in temperate agriculture (K. Evans, D.L. Trudgill y J.M. Webster, eds.), págs. 305-350. Wallingford (Reino Unido), CABI. 656 págs.
- **Cooke, D.** 1993. Nematode parasites of sugarbeet. En Plant parasitic nematodes in temperate agriculture (K. Evans, D.L. Trudgill y J.M. Webster, eds.), págs. 133-169. Wallingford (Reino Unido), CABI. 656 págs.
- **Coolen, W.A. y D'Herde, C.J.** 1972. A method for the quantitative extraction of nematodes from plant tissue. Gante (Bélgica), Ministerio de Agricultura, Centro de Investigación Agrícola Estatal. 77 págs.
- **Courtney, W.D.** 1962. Stem nematode of red clover in the Pacific Northwest. Bulletin of the Washington State Agricultural Experiment Station, 640, págs. 1-17.
- **Dallimore, C.E. y Thorne, G.** 1951. *Infection of sugar beets by* Ditylenchus destructor *Thorne, the potato rot nematode. Phytopathology*, 41, págs. 872-874.
- **De Ley, P. y Blaxter, M.** 2003. A new system for Nematoda: Combining morphological characters with molecular trees, and translating clades into ranks and taxa. Nematological Monographs and Perspectives, 2, págs. 1-21.
- Edwards, E.E. 1937. On the eelworm disease of primulas caused by Anguillula dipsaci, Kühn. Journal of Helminthology, 15, págs. 221-232.
- **EPPO** (Organización Europea y Mediterránea de Protección de las Plantas). 2013a. *PQR: EPPO Plant Quarantine Data Retrieval System*. (Disponible en: http://www.eppo.orgDATABASES/pqr/pqr.htm).
- **EPPO** (Organización Europea y Mediterránea de Protección de las Plantas). 2013b. *Diagnostic protocols for regulated pests. Pictorial glossary of morphological terms in nematology*. Documento técnico de la EPPO N. ° 1056 (Rev. 4). (Disponible en: http://www.eppo.int/QUARANTINE/diag\_activities/EPPO\_TD\_1056\_Glossary.pdf).
- **EPPO** (Organización Europea y Mediterránea de Protección de las Plantas). 2013c. *Nematode extraction*. EPPO Standard PM 7/119(1). *EPPO Bulletin*, 43, págs. 471-485.
- Esquibet, M., Grenier, E., Plantard, O., Andaloussi, F.A. y Caubel, G. 2003. DNA polymorphism in the stem nematode Ditylenchus dipsaci: Development of diagnostic markers for normal and giant races. Genome, 46, págs. 1077-1083.
- **Evans, K. y Trudgill, D.L**. 1992. *Pest aspects of potato production Part 1. The nematode pests of potato*. En *The potato crop* (P.M. Harris, ed.), 2. <sup>a</sup> edición, págs. 438-475. Londres (Reino Unido), Chapman and Hall. 909 págs.
- Ferris, J.M. y Ferris, V.R. 1998. Biology of plant parasitic nematodes. En Plant and nematode interactions (K.R. Barker, G.A. Pederson y G.L. Windham, eds.), págs. 21-36. Madison, WI (Estados Unidos de América), American Society of Agronomy, Inc., Crop Science Society of America, Inc. y Soil Science Society of America, Inc. 772 páginas.
- **Filipjev, I.N**. 1936. On the classification of the Tylenchinae. En Proceedings of the Helminthological Society of Washington, 3, págs. 80-82.
- **Flegg, J.J.M. y Hooper, D.J.** 1970. Extraction of free-living stages from soil. En Laboratory methods for work with plant and soil nematodes (J.F. Southey, ed.), Technical Bulletin 2, págs. 5-22. Londres (Reino Unido), Ministerio de Agricultura, Pesca y Alimentación. 148 págs.
- **Goodey, J.B.** 1952. The influence of the host on the dimensions of the plant parasitic nematode, Ditylenchus destructor. Annals of Applied Biology, 30, págs. 468-474.
- **Goodey, J.B.** 1963. *Soil and freshwater nematodes.* Harpenden (Reino Unido), Departamento de Nematología, Estación Experimental de Rothamsted y London, Methuen & Co. Ltd. 544 págs.

- **Griffin, G.D.** 1985. *Nematode parasites of alfalfa, cereals and grasses*. En *Plant and insect nematodes* (W.R. Nickle, ed.), págs. 243-322. Nueva York (Estados Unidos de América), Marcel Dekker Inc. 925 págs.
- **Hesling, J.J.** 1974. *Ditylenchus myceliophagus. CIH descriptions of plant-parasitic nematodes*, Set 3, No. 36. St Albans (Reino Unido) Commonwealth Institute of Helminthology (CIH). 4 págs.
- **Heyns, J.** 1971. *A guide to the plant and soil nematodes of South Africa*. Ciudad del Cabo (Sudáfrica), A.A. Balkema. 233 págs.
- **Hooper, D.J.** 1972. *Ditylenchus dipsaci. CIH descriptions of plant-parasitic nematodes*, Set 1, No. 14. St Albans (Reino Unido) Commonwealth Institute of Helminthology (CIH). 4 págs.
- **Hooper, D.J.** 1973. *Ditylenchus destructor. CIH descriptions of plant-parasitic nematodes*, Set 2, No. 21. St Albans (Reino Unido) Commonwealth Institute of Helminthology (CIH). 4 págs.
- **Hooper, D.J.** 1986. Extraction of nematodes from plant tissue. En Laboratory methods for work with plant and soil nematodes (J.F. Southey, ed.), Reference Book 402, 6. a ed., págs. 51-58. Londres (Reino Unido), Ministerio de Agricultura, Pesca y Alimentación. 202 págs.
- **Hooper, D.J., Hallmann, J. y Subbotin, S.A.** 2005. *Methods for extraction, processing and detection of plant and soil nematodes*. En *Plant parasitic nematodes in subtropical and tropical agriculture* (M. Luc, R.A. Sikora y J. Bridge, eds.), 2. <sup>a</sup> ed., págs. 53-86. Wallingford (Reino Unido), CABI. 871 págs.
- Jeszke, A., Budziszewska, M., Dobosz, R., Stachowiak, A., Protasewicz, D., Wieczorek, P. y Obrępalska-Stęplowska, A. 2013. A comparative and phylogenetic study of the Ditylenchus dipsaci, Ditylenchus destructor and Ditylenchus gigas populations occurring in Poland. (Comunicación breve) Journal of Phytopathology, 162, págs. 61-67.
- Ji, L., Wang, J.C., Yang, X.L., Huang, G.M. y Lin, M.S. 2006. [PCR-RFLP patterns for differentiation of three Ditylenchus species.] Revista de la Facultad de Agricultura de Nanjing, 29, págs. 39-43 (en chino).
- Johnson, C.S. 1998. Tobacco. En Plant and nematode interactions (K.R. Barker, G.A. Pederson y G.L. Windham, eds.), págs. 487-522. Madison, WI (Estados Unidos de América), American Society of Agronomy, Inc., Crop Science Society of America, Inc. y Soil Science Society of America, Inc. 772 páginas.
- **Karssen, G. y Willemsen, N.M.** 2010. The spiculum: An additional useful character for the identification of Ditylenchus dipsaci and D. destructor (Nematoda: Anguinidae). EPPO Bulletin 40, págs. 211-212.
- **Kerkoud, M., Esquibet, M. y Plantard, O.** 2007. *Identification of* Ditylenchus *species associated with Fabaceae seeds based on a specific polymerase chain reaction of ribosomal DNA-ITS regions. European Journal of Plant Pathology*, 118, págs. 323-332.
- **Kleynhans, K.P.N.** 1997. Collecting and preserving nematodes. A manual for a practical course in nematology by SAFRINET, the southern African (SADC) LOOP of BioNET-INTERNATIONAL, ARC. Pretoria (Sudáfrica), Institución de investigación para la protección vegetal. 52 págs.
- **Kühn, J.** 1857. Über das Vorkommen von Anguillulen in erkrankten Blüthenköpfen von Dipsacus fullonum L., Zeitschrift für wissenschaftliche Zoologie, 9, págs. 129-137.
- **Leal-Bertioli, S.C.M., Tenente, R.C.V. y Bertioli, D.J.** 2000. *ITS sequence of populations of the plant-parasitic nematode* Ditylenchus dipsaci. *Nematologia Brasileira*, 24, págs. 83-85.
- Marek, M., Zouhar, M., Rysanek, P. y Havranek, P. 2005. Analysis of ITS sequences of nuclear rDNA and development of a PCR-based assay for the rapid identification of the stem nematode Ditylenchus dipsaci (Nematoda: Anguinidae) in plant tissues. Helminthologia, 42, págs. 49-56.
- **McDonald, A.H. y Nicol, J.M.** 2005. *Nematode parasites of cereals*. En *Plant parasitic nematodes in subtropical and tropical agriculture* (M. Luc, R.A. Sikora y J. Bridge, eds.), 2. <sup>a</sup> ed., págs. 131-192. Wallingford (Reino Unido), CABI. 896 págs.
- Mollov, D.S., Subbotin, S.A. y Rosen, C. 2012. First report of Ditylenchus dipsaci on garlic in Minnesota. Plant Disease, 96, pág. 1707.

- **Nemapix.** pág. 1999. J.D. Eisenback y U. Zunke, eds. *A journal of nematological images*, Vol. 2. Blacksburg, Virginia (Estados Unidos de América), Mactode Publications.
- **Nemapix.** 2000. J.D. Eisenback y U. Zunke, eds. *A journal of nematological images*, Vol. 1., 2. <sup>a</sup> ed. Blacksburg, Virginia (Estados Unidos de América), Mactode Publications.
- **Nemapix.** pág. 2002. J.D. Eisenback y U. Zunke, eds. *A journal of nematological images*, Vol. 3. Blacksburg, Virginia (Estados Unidos de América), Mactode Publications.
- **Netscher, C. y Sikora, J.W.** pág. 1990. *Nematodes in vegetables*. En *Plant parasitic nematodes in subtropical and tropical agriculture* (M. Luc, R.A. Sikora y J. Bridge, eds.), 2. a ed., págs. 237-283. Wallingford (Reino Unido), CABI. 896 págs.
- Oliveira, R.D.L., Santin, Â.M., Seni, D.J., Dietrich, A., Salazar, L.A., Subbotin, S.A., Mundo-Ocampo, M., Goldenberg, R. y Barreto, R.W. 2013. Ditylenchus gallaeformans sp.n. (Tylenchida: Anguinidae): A neotropical nematode with biocontrol potential against weedy Melastomataceae. Nematology, 15, págs. 179-196.
- **Palazova, G. y Baicheva, O.** 2002. *Electrophoretic studies of* Ditylenchus dipsaci (Kuhn, 1857) *Filipjev, 1936 from two hosts:* Allium sativum *and* Allium cepa. *Experimental Pathology and Parasitology,* 5, págs. 39-40.
- **Palmisano, A.M., Tacconi, R. y Trotti, G.C.** 1971. *Sopravvivenza di* Ditylenchus dipsaci (*Kühn*) *Filipjev Nematoda: tylenchidae*) *al processo digestivo nei suini, equini e bovini. Redia*, 52, págs. 725-737.
- **Potter, J.W. y Olthof, T.H.A.** 1993. Nematode pests of vegetable crops. En Plant parasitic nematodes in temperate agriculture (K. Evans, D.L. Trudgill y J.M. Webster, eds.), págs. 171-208. Wallingford (Reino Unido), CABI. 656 págs.
- Powers, T.O., Szalanski, A.L., Mullin, P.G., Harris, T.S., Bertozzi, T. y Griesbach, J.A. 2001. *Identification of seed gall nematodes of agronomic and regulatory concern with PCR-RFLP of ITS1. Journal of Nematology*, 33, págs. 191-194.
- **Rivoal, R. y Cook, R.** 1993. *Nematode pests of cereals*. En *Plant parasitic nematodes in temperate agriculture* (K. Evans, D.L. Trudgill y J.M. Webster, eds.), págs. 259-304. Wallingford (Reino Unido), CABI. 656 págs.
- **Roberts, H.** 1981. New or unusual host-plant records for plant-parasitic nematodes, 1977-80. Plant Pathology, 30, 182.
- **Rojankovski, E. y Ciurea, A.** 1986. Contributions to the study of interactions between the potato rot nematode, Ditylenchus destructor Thorne, and fungi in the potato disease complex. Archiv für Phytopathologie und Pflanzenschutz, 22, págs. 101-106.
- **Seinhorst, J.W.** 1959. A rapid method for the transfer of nematodes from fixative to anhydrous glycerin. *Nematologica*, 4, págs. 67-69.
- **Siddiqi, M.R.** 2000. *Tylenchida parasites of plants and insects*, 2. <sup>a</sup> ed. Wallingford (Reino Unido), CABI. 864 págs.
- **Sikora, R.A., Greco, N. y Silva, J.F.V.** 2005. *Nematode parasites of food legumes*. En *Plant parasitic nematodes in subtropical and tropical agriculture* (M. Luc, R.A. Sikora y J. Bridge, eds.), 2. <sup>a</sup> ed., págs. 259-318. Wallingford (Reino Unido), CABI. 896 págs.
- **Sousa, A.I., Gomes, V.F. y Tenente, R.C.V.** 2003. *Tratamento fisico aplicado as sementes de melao* (Cucumis melo L.), *importadas da Holanda, na erradicação de* Ditylenchus dipsaci (*Khun, 1857*) *Filipjev, 1936. Nematologia Brasileira,* 27, págs. 223-225.
- **Southey, J.F.** 1993. Nematodes of ornamental and bulb crops. En Plant parasitic nematodes in temperate agriculture (K. Evans, D.L. Trudgill y J.M. Webster, eds.), págs. 463-500. Wallingford (Reino Unido), CABI. 656 págs.
- **Sturhan, D. y Brzeski, M.W.** 1991. *Stem and bulb nematodes*, Ditylenchus *spp*. En *Manual of Agricultural Nematology*, (W.R. Nickle, ed.), págs. 423-464. Nueva York (Estados Unidos de América), Marcel Decker Inc. 1064 págs.

- **Subbotin, S.A., Madani, M., Krall, E., Sturhan, D. y Moens, M.** 2005. *Molecular diagnostics, taxonomy and phylogeny of the stem nematode* Ditylenchus dipsaci *species complex based on the sequences of the ITS-rDNA. Phytopathology*, 95, págs. 1308-1315.
- **Tenente, R.C.V. y Evans, A.A.F.** 1997. *Electrophoresis of proteins from several races of* Ditylenchus dipsaci *recovered from dried infested courgette tissue. Nematologia Brasileira,* 21, págs. 84-91.
- **Thorne, G.** 1945. Ditylenchus destructor, n. sp., the potato rot nematode, and Ditylenchus dipsaci (Kuhn, 1857) Filipjev, 1936, the teasel nematode (Nematoda: Tylenchidae). Proceedings of the Helminthological Society of Washington, 12, págs. 27-33.
- Van der Vegte, F.A. y Daiber, K.C. 1983. A preliminary report on the occurrence of Ditylenchus destructor on the ornamental Liatris spicata and efforts to eradicate the former. Actas del 6. <sup>o</sup> Simposio y Asamblea General de la Sociedad Nematológica del África austral.
- Viglierchio, D.R. 1971. Race genesis in Ditylenchus dipsaci. Nematologica, 17, págs. 386-392.
- **Viscardi, T. y Brzeski, M.W.** 1993. *DITYL: Computarized key for species identification of* Ditylenchus (Nematoda: Anguinidae). Fundamental and Applied Nematology, 16, págs. 389-392.
- Vovlas, N., Troccoli, A., Palomares-Rius, J.E., De Luca, F., Liébanas, G., Landa, B.B., Subbotin, S.A. y Castillo, P. 2011. Ditylenchus gigas n.sp. parasitizing broad bean: A new stem nematode singled out from the Ditylenchus dipsaci species complex using a polyphasic approach with molecular phylogeny. Plant Pathology, 60, págs. 762-775.
- Vrain, T.C., Wakarchuk, A.C., Levesque, A.C. y Hamilton, R.I. 1992. Intraspecific rDNA restriction fragment length polymorphism in the Xiphinema americanum group. Fundamental and Applied Nematology, 15, págs. 563-573.
- Webster, J. M., Anderson, R. V., Baillie, D. L., Beckenbach, K., Curran, J. y Rutherford, T. 1990. DNA probes for differentiating isolates of the pinewood nematode species complex. Revue de Nématologie, 13, págs. 255-263.
- Wendt, K. R., Swart, A., Vrain, T. C. y Webster, J. M. 1995. Ditylenchus africanus sp.n. from South Africa: A morphological and molecular characterization. Fundamental and Applied Nematology, 18, págs. 241-250.
- Wendt, K. R., Vrain, T. C. y Webster, J. M. 1993. Separation of three species of Ditylenchus and some host races of D. dipsaci by restriction fragment length polymorphism. Journal of Nematology, 25, págs. 555-563.
- **Zouhar, M., Marek, M., Douda, O., Mazáková, J. y Ryšánek, P.** 2007. Conversion of sequence-characterized amplified region (SCAR) bands into high-throughput DNA markers based on RAPD technique for detection of the stem nematode Ditylenchus dipsaci in crucial plant hosts. Plant Soil and Environment, 53, págs. 97-104.
- Zouhar, M., Marek, M., Licinio, J. y Ryšánek, P. 2002. Using point mutations in rDNA for differentiation of bioraces of Ditylenchus dipsaci from the Czech Republic. Plant Protection Science, 38 (Especial 2), págs. 358-360.

#### 9. Figuras



**Figura 1.** Semilla de *Vicia faba* infectada por *Ditylenchus dipsaci*, con presencia de masas algodonosas (o "lana de nematodos").

Fotografía por gentileza de G. Caubel, Nemapix (1999).



**Figura 2.** Allium sativum infectado por Ditylenchus dipsaci. Fotografía por gentileza de G. Caubel, Nemapix (1999).



**Figura 3.** Plantas jóvenes de *Allium cepa* infectadas por *Ditylenchus dipsaci*. Fotografía por gentileza de E. Hennig, State Plant Health and Seed Inspection Service, Torun (Polonia).



**Figura 4.** Bulbo de ajo infectado por *Ditylenchus dipsaci.* Fotografía por gentileza de G. Caubel, Nemapix (2002).



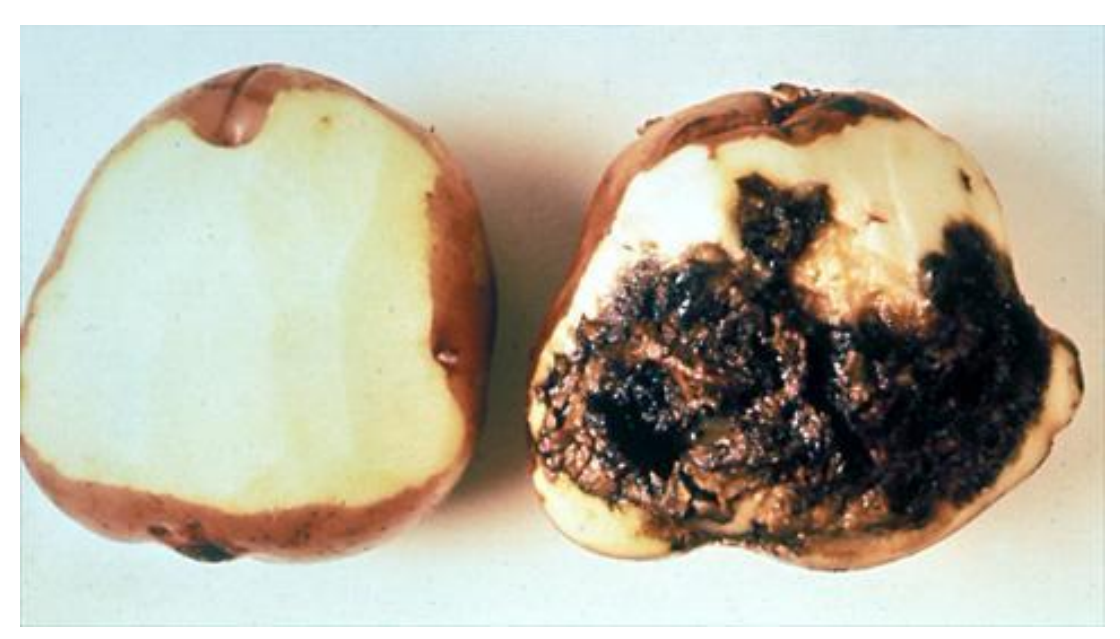
**Figura 5.** Narcissus spp. infectado por Ditylenchus dipsaci. Fotografía por gentileza de G. Caubel, Nemapix (1999).



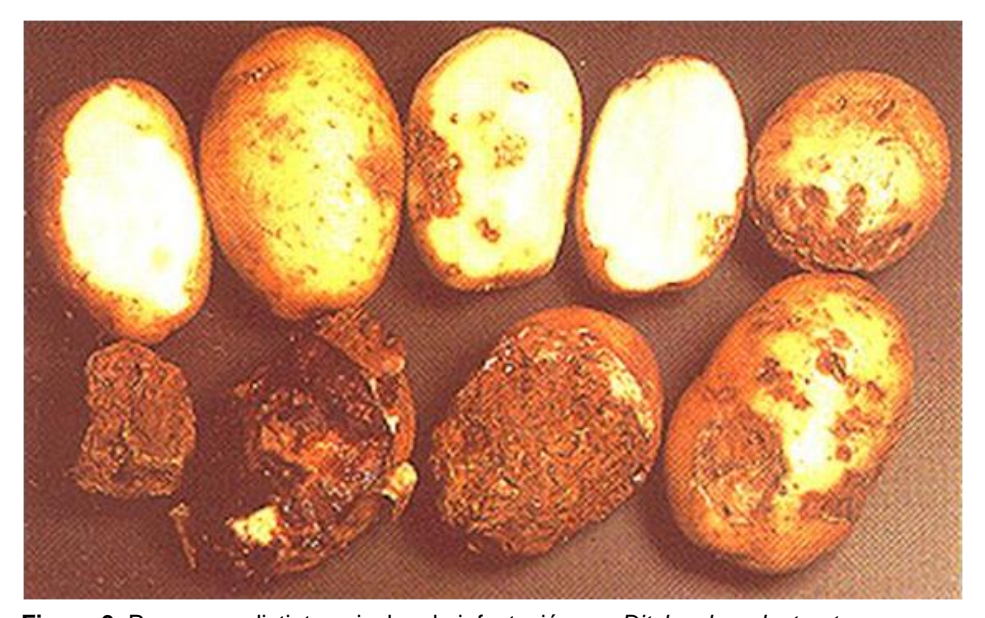
**Figura 6.** Sección transversal de bulbo de *Narcissus* sp. infectado por *Ditylenchus dipsaci.* Fotografía por gentileza de C.W. Laughlin, Nemapix (2002).



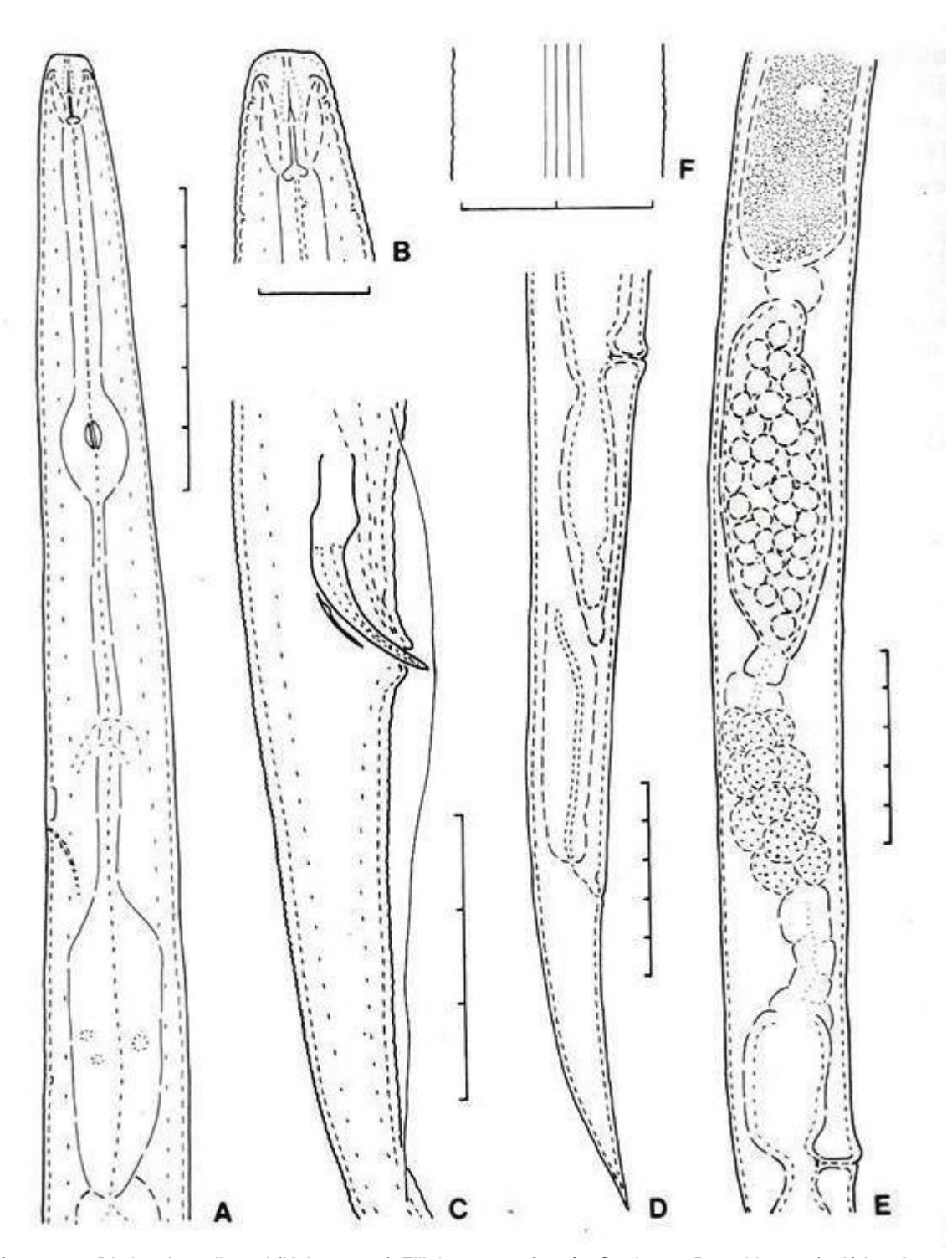
**Figura 7.** Sección transversal de remolacha azucarera infectada por *Ditylenchus dipsaci.* Fotografía por gentileza de C. Hogger, Nemapix (1999).



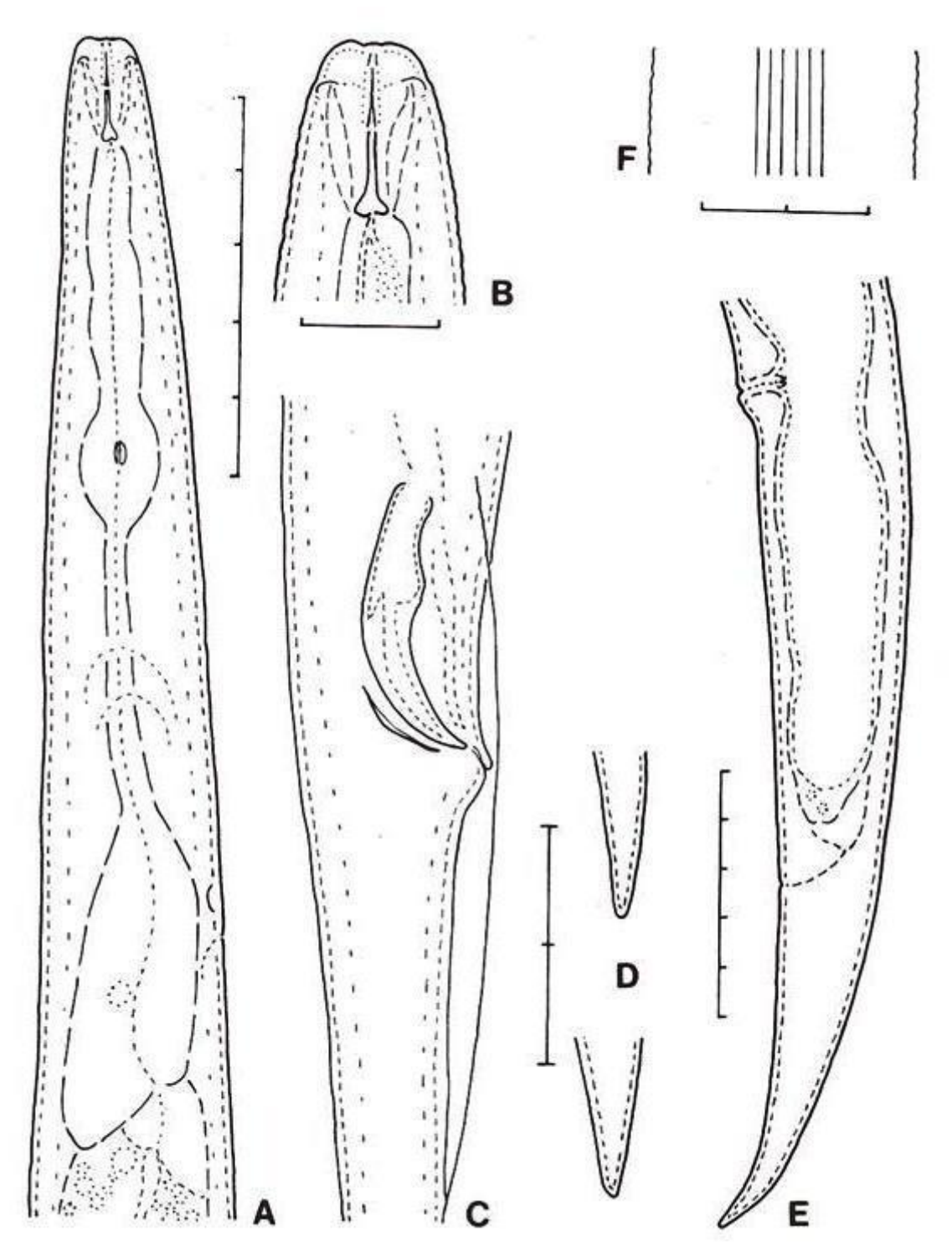
**Figura 8.** Sección transversal de papa infectada por *Ditylenchus destructor* comparada con una papa no infectada. *Fotografía por gentileza de S. Ayoub, Nemapix (2000).* 



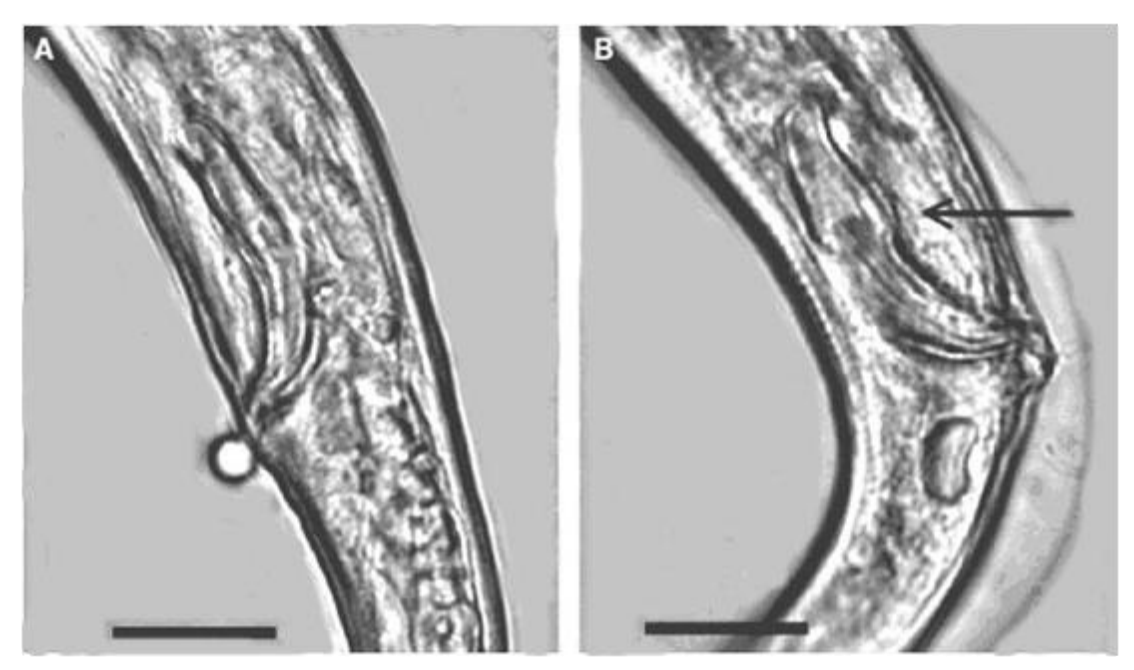
**Figura 9.** Papas con distintos niveles de infestación por *Ditylenchus destructor.* Fotografía por gentileza de H. Andersen.



**Figura 10.** *Ditylenchus dipsaci* (Kühn, 1857) Filipjev, 1936 (según Sturhan y Brzeski, 1991). A) hembra, región esofágica; B) región cefálica de la hembra; C) macho, región de las espículas; D) hembra, región caudal; E) parte del aparato reproductor de la hembra, y F) banda lateral en la región media. Cada unidad de las barras de medida equivale a 10 µm.



**Figura 11.** *Ditylenchus destructor* Thorne, 1945 (según Sturhan y Brzeski, 1991). A) hembra, región esofágica; B) hembra, región cefálica; C) macho, región de las espículas; D) terminación de la cola de dos hembras; E) hembra, región caudal, y F) banda lateral en la región media. Cada unidad de las barras de medida equivale a 10 μm.



**Figura 12.** Espícula de *Ditylenchus*: A) *D. dipsaci* y B) *D. destructor.* La flecha señala el túmulo. Las barras de escala equivalen a  $12 \ \mu m$ .

Fotografía por gentileza de Karssen y Willemsen (2010).

#### Historia de la publicación

Esta no es una parte oficial de la norma

2006-04: En la primera reunión de la CMF (2006) se añadió el tema al programa de trabajo (Nematodos, 2006-008).

2004-11: El CN añadió la cuestión: Ditylenchus destructor / D. dipsaci (2004-017).

2010-07: Proyecto presentado en la reunión del GTPD.

2013-04: Consulta de expertos.

2013-06: Proyecto presentado en la reunión del GTPD.

2014-05: El CN aprobó presentar el texto para consulta a los miembros (2014\_eSC\_May\_11).

2014-07: Consulta a los miembros.

2015-04: El GTPD aprobó el proyecto para someterlo al CN (2015\_eTPDP\_Apr\_03).

2015-06: El CN aprobó el período de notificación del PD (2015\_eSC\_Nov\_02).

2015-08: El CN adoptó el PD en nombre de la CMF (no se recibieron objeciones formales).

NIMF 27. Anexo 8. Ditylenchus dipsaci y Ditylenchus destructor (2015). Roma, CIPF, FAO.

2017-04: La CMF-12 ha tomado nota de los cambios editoriales efectuados en español por el grupo de examen de los idiomas.

Última modificación de la historia de la publicación: 2017-04.

Esta página se ha dejado en blanco intencionalmente

#### **CIPF**

La Convención Internacional de Protección Fitosanitaria (CIPF) es un acuerdo internacional de sanidad vegetal que tiene como objetivo proteger las plantas cultivadas y silvestres previniendo la introducción y propagación de plagas. Los viajes y el comercio internacional hoy son más abundantes que nunca antes. En el desplazamiento de personas y mercancías por todo el mundo, los acompañan organismos que representan riesgos para las plantas.

#### La organización

- ◆ Hay más de 180 partes contratantes de la CIPF
- Cada parte contratante tiene una organización nacional de protección fitosanitaria (ONPF) y un contacto oficial de la CIPF
- Nueve organizaciones regionales de protección fitosanitaria (ORPF) obran para facilitar la aplicación de la CIPF en los países
- La CIPF se enlaza con las organizaciones internacionales pertinentes a fin de contribuir a la creación de capacidad regional y nacional
- ◆ La Organización de las Naciones Unidas para la Alimentación y la Agricultura (FAO) proporciona la Secretaría de la CIPF



#### Convención Internacional de Protección Fitosanitaria (CIPF)

Viale delle Terme di Caracalla, 00153 Roma, Italia Tel. +39 06 5705 4812 - Fax: +39 06 5705 4819 Correo electrónico: ippc@fao.org - Web: www.ippc.int